

В.Т.Шкаторов

*Кандидат физико-математических наук, Томск*

## **Детектирование торсионных полей.**

*Как это начиналось и продолжается у автора?*

### **Раздел 1. Начало**

Начало было обыденным. С 1979 по 2000 год я работал в Институте сильноточной электроники Сибирского отделения РАН. Занимался электрофизикой и сильноточной энергетикой в рамках традиционных научных и инженерных представлений. Во второй половине 90-х годов, когда финансирование науки, особенно фундаментальной, сократилось до сверхкритического уровня, пришлось подрабатывать. Из всего спектра решаемых тогда мною, теперь уже сугубо инженерных, задач, отмечу одну, важную для дальнейшего хода событий. Поступило предложение – разработать экспериментальный образец современной люстры Чижевского, на основе которого можно было бы изготовить небольшую серию для продажи частным лицам. Базовая конструкция люстры как генератора отрицательных аэроионов кислорода  $O_2^-$ , полезных для биологических объектов, была мне известна из книги А.Чижевского 1937 года издания. Она была очень громоздкой и питалась от выпрямителя для стационарных рентгеновских аппаратов.

Задача состояла в создании компактного и недорогого источника питания с выходным напряжением 60-80 тысяч вольт отрицательной полярности и многоострийного излучателя с размерами, уменьшенными по сравнению с базовым вариантом, но с увеличенной эффективностью по  $O_2^-$ . Такой образец люстры был изготовлен группой единомышленников. Начались предварительные испытания изделия. Сразу же пошли нежелательные эффекты – испортился единственный в лаборатории калькулятор, кругом сыпались искры. Добившись устойчивой и надёжной работы высоковольтной части люстры, мы успешно продали аппарат для лечения лежачего больного мальчика. Весьма быстро по обратной связи прошла информация о замечательном положительном эффекте, мальчик порозовел, в этот дом стали ходить люди с разными недугами...

Воодушевившись успехом, мы изготовили технологический вариант для более подробного изучения других аспектов, главным образом физических. Началась отчасти подпольная, но планомерная и интересная работа. Опуская ряд подробностей, отмечу здесь обнаруженный мною, в содружестве с коллегой Сергеем Чесноковым<sup>1</sup>, *неплановый* фотографический феномен.

Упомянутый уже фотографический феномен заключался в том, что на 35-мм плёнке, вставленной в фотоаппарат «ЗЕНИТ - Е» с надёжно заглушенным объективом, при определённых условиях его облучения люстрой Чижевского, получалось некое странное изображение, которое выходило за рамки кадра и, по-видимому, соответствовало одной детали, находящейся внутри самого фотоаппарата. Получается, что в предложенных условиях фотоаппарат снимал сам себя изнутри, рис. 1.

---

<sup>1</sup> С.М.Чесноков, кандидат физико-математических наук, тогда заведовал лабораторией в ИСЭ, занимался ионными пучками, а параллельно вместе с женой пёк вкусный хлеб в собственной пекарне. Он интересовался многими проблемами, в частности безопорными движителями и нетрадиционными генераторами электрической энергии. На конференции по теоретической физике в Томске он познакомился с Г.И.Шиповым, половину ночи просидел с ним в номере гостиницы за разговорами о магических торсионных полях. Был очень впечатлён беседой. А через несколько дней коллеги с прискорбием узнали о неожиданной смерти С.М.Чеснокова.

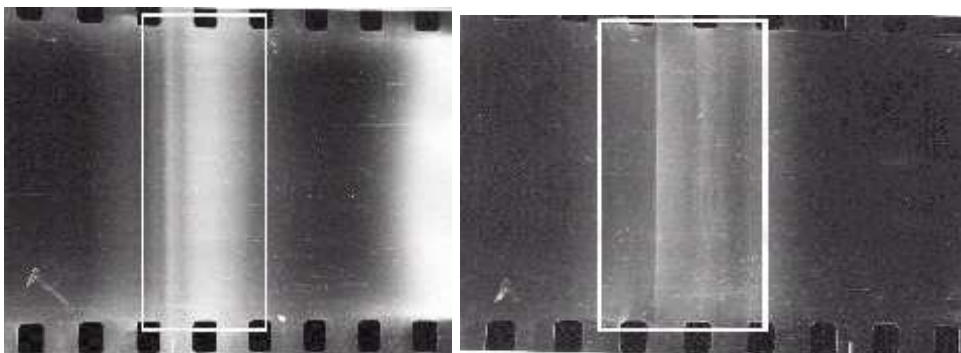


Рис. 1. Позитивные изображения фотографических феноменов.

Более подробно об этом феномене можно прочитать в статье, опубликованной в *Известиях Вузов. Физика-1999-№1.-с.109-110.*

Другой феномен, теперь уже *плановый* и связанный со «скрытым» излучением люстры Чижевского (ЛЧ), также при участии С.М.Чеснокова, был получен с использованием группы механических секундомеров марки «СЛАВА» в качестве «детектора» этого излучения. Предварительно секундомеры по отдельности проверялись на устойчивость хода в течение 12 часов, с оценкой систематической погрешности этого хода (как правило,  $\pm 1\div 2$  сек/12 час.). Эта величина фиксировалась индивидуально для каждого секундомера с точностью  $\pm 0,2$  сек. как в случае установки «циферблата вверх», так и «наоборот». Далее, группа из трёх секундомеров указанного типа собиралась в конфигурацию типа «стопка», либо «цветок», и размещалась внутри заземлённого электромагнитного экрана. Выбор набора из трёх секундомеров был сделан для большей достоверности результата.

Каждые 12 часов конфигурация вскрывалась, секундомеры по очереди останавливались и их показания фиксировались с записью в журнале наблюдений. Таким образом велась многомесячная регистрация *фоновой* обстановки в месте наблюдения. Было замечено, что средний ход часовых механизмов коррелированно зависит от некоторых событий, как положительных, так и отрицательных<sup>1</sup>, рис.2а, 2б. После этих пассивных наблюдений решено было начать активную фазу. Включалась ЛЧ на 30 минут и измерялся *сверхнормативный* (дополнительный по отношению к *фоновому* показателю) уход каждого секундомера, усреднённый за 12 часов накопления. Такая работа производилась при различных конфигурациях в группе секундомеров. В результате было выявлено заметное влияние излучения ЛЧ на скорость хода механических часов, рис. 3а и 3б.

<sup>1</sup> События считаются у меня положительными, если они улучшают состояние окружения: среды, объектов и т. д., например, здоровье человека. Как правило, они связаны с усложнением тонкоматериальной структуры объектов, её гармонизации. Соответственно, события следует считать отрицательными, если указанные показатели изменяются в противоположную сторону.

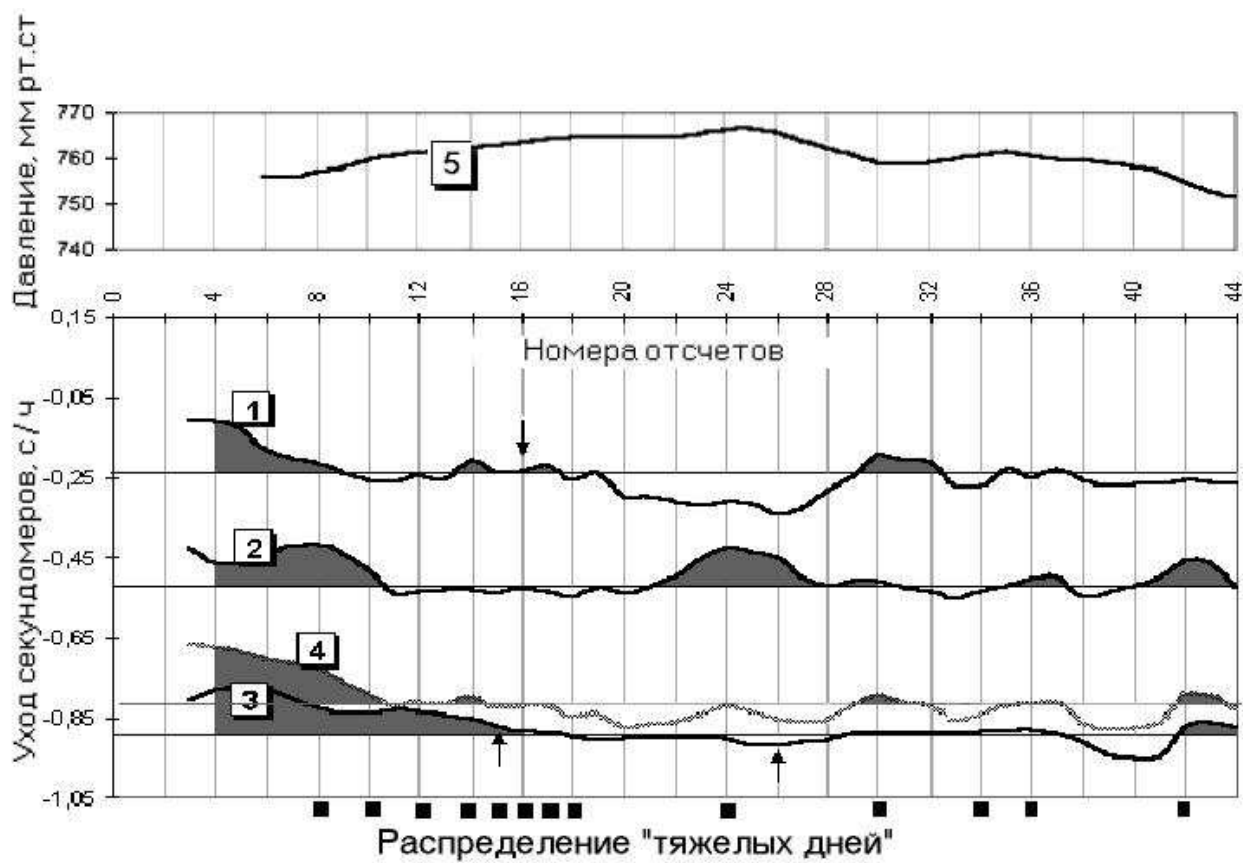


Рис. 2а и 2б. Зависимости хода маятниковых секундомеров №№ 1,2,3 в режиме регистрации фоновой обстановки в течение 44 суток. Видна коррелированная связь с распределением «тяжёлых» дней<sup>1</sup>. Кривая 4 является суммарной, а кривая 5 отражает изменение атмосферного давления.

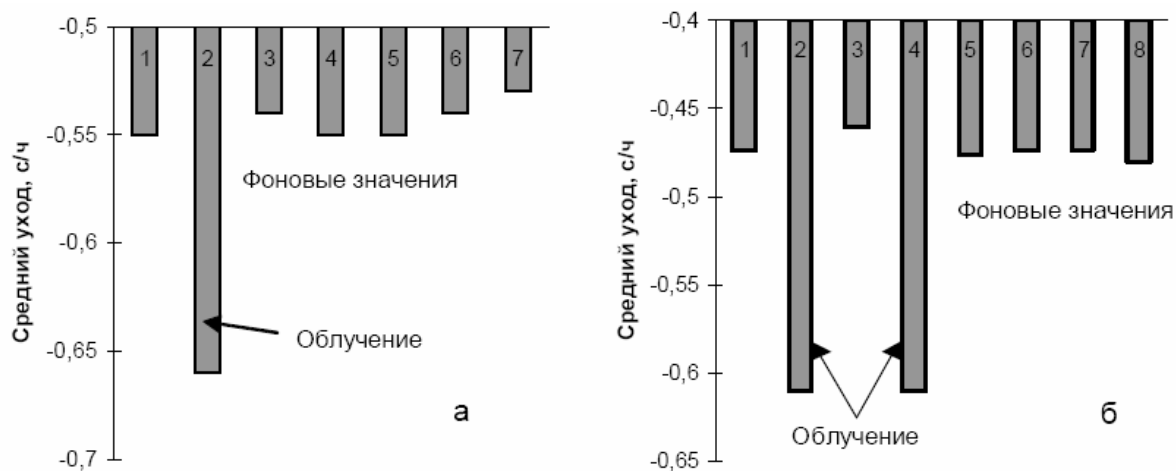


Рис. 3а и 3б. Зависимости хода маятниковых секундомеров от воздействия «скрытого» излучения люстры Чижевского в вариантах: а) не экранированной люстры, б) экранированной.

Подробное описание методики и результаты этих экспериментов можно найти в статье, опубликованной в журнале Известия Вузов. Физика-1999.-№7.-с.85-89.

Примерно в это же время, 1996-97 годы, случился ещё один важный для этого направления поворот. На остановке автобуса «Академгородок», конечно случайно (!), мне

<sup>1</sup> Указанные на рисунке «тяжёлые» дни взяты мною из средств массовой информации, точно не помню, откуда, может быть из АиФ. Работа эта делалась в 1999 году.

встретился бывший официальный руководитель по докторской работе профессор В.Г.Багров, известный в России и мире специалист по квантовой электродинамике. После того, как я поделился с ним результатами вышеописанных экспериментов, он заявил, что у него на кафедре теоретической физики в Университете находится прибор, на который мне невредно было бы взглянуть. Стыдно признаться, но я так и не собрался приехать на эту кафедру. Уважаемый профессор привёз этот прибор к нам в Институт и предложил мне его забрать. Я незамедлительно перенёс прибор к себе, сразу вскрыл и оцепенел, так как никогда не видел ничего подобного.... Это был электроторсионный генератор А.Е.Акимова (по идее академика И.Е.Тамма). Он и сейчас у меня находится.

В течение, примерно, года я пытался раскачивать крутильный маятник на кварцевом подвесе, в который сверху вводил торсионный признак правого, либо левого вращения от генератора Акимова. Если колебания уже существовали, то удавалось увеличить, либо уменьшить их амплитуду путём подачи по проводам управляющего сигнала в нужной фазе. Наблюдения за отклонением оптического «зайчика» относительно шкалы велись с помощью теодолита на расстоянии около 4-х метров, оттуда-же велось управление. В ходе этого эксперимента я впервые столкнулся с эффектом торсионной памяти объекта. Привередливая штука для начинающих торсионщиков. Иногда неделю-две приходилось ждать, чтобы повторить эксперимент. До этого объект не желает подчиняться, так как помнит предыдущее воздействие.

В году примерно 1997 мне довелось ехать в поезде «ТОМИЧ» из Москвы домой. На отрезке Казань-Свердловск рядом со мной сидел пассажир из Свердловска. В руках он держал открытый иллюстрированный журнал с новым для меня тогда названием «Чудеса и приключения». Я попросил у него разрешения посмотреть. Журнал был раскрыт на статье о полях изображений: круг и окружность. Мне удалось его расшевелить, он работал в каком-то «ящике», в отделе специфической информации о так называемых тонких полях и явлениях. Они собирали нужную информацию из всех источников и писали её на диски. Работали в непростых условиях. В ответ мне тоже пришлось частично засветиться. Обменялись телефонами, но с тех пор не связались. К тому же, его номер я утерял. Конечно, случайно. Этот разговор подтолкнул меня к созданию первого датчика торсионного поля и первого торсимера ТСМ-021, с помощью которого я через год измерил-таки торсионные поля (контрасты) некоторых плоских изображений, букв и цифр. И много чего другого. Но путь к этим вполне достойным результатам был не слишком коротким.

## **Раздел 2. Прибор**

Для начала нужно было построить своеобразный стенд для испытания различных датчиков, включающий в себя средства контролируемого торсионного воздействия, средства усиления слабых изменений в датчике, средства экранирования от помех той же природы, регистрацию. Основными средствами воздействия в этом стендे являлись: торсионное поле постоянного магнита, торсионное излучение генератора Акимова и торсионное поле люстры Чижевского.

В качестве материала первого датчика, после многих проб и ошибок, был выбран феррит (популярный сегодня композиционный ферромагнетик). Конструктивно датчик был выполнен на основе двух ферритовых колец из материала МН-2000, размером 40\*25\*12 мм, обмотанных проводом ПЭВ-2 диаметром 0,3 мм, по 100 витков в один слой. Полученные кольцевые катушки индуктивности соединялись параллельно и надевались на цилиндрический многополюсный намагниченный ротор от синхронного электродвигателя (производитель Швеция, марку не помню). Позиционирование катушек по отношению друг к другу и

магнитной системе ротора регулировалось по достижению максимальной чувствительности к полю небольшого постоянного магнита как пробного тела. Индикация изменений общей индуктивности производилась гетеродинным измерителем индуктивностей и ёмкостей марки Е4-7. В результате многофакторного перебора параметров материала датчика и его конструктивных соотношений удалось получить устойчивую реакцию на магнитное поле пробного тела размером 5\*5\*5мм при расстоянии до 3 метров.

После этого вышеописанная конструкция была частично экранирована от статических магнитных полей ленточной высококачественной трансформаторной сталью марки Э430, толщина ленты 80 микрометров, ширина 50 мм, общая толщина намотки 10 мм. И, в заключение, указанная сборка была запаяна в электродинамический экран из медной фольги толщиной 0,1 мм и помещена внутрь стеклянного широкогорлого термоса объёмом 0,3 литра со стандартной двойной крышкой для экранирования от быстрых изменений внешней температуры. Электрические выводы от датчика выполнялись константановыми проволочками толщиной 0,1 мм для уменьшения теплопередачи. Индуктивность датчика в дальнейшем использовалась в составе колебательного контура измерительного автогенератора, работающего на частоте около 130 кГц  $\pm 1 \div 20$  Гц. Эта частота сравнивалась с частотой опорного генератора, близкой по значению, разность оцифровывалась и выводилась на жидкокристаллический индикатор как значение торсионного поля объекта в произвольных (увы!) единицах.

Блок-схема моего первого измерителя ТП по описанной идеологии, под названием ТСМ-021, приведена на рис. 4, а внешний вид на рис. 5. К сожалению, принципиальная схема этого прибора в черновом виде утеряна при многочисленных переездах, а чистовой вариант я так и не удосужился вычертить. Принцип работы прибора должен быть понятен грамотному радиоинженеру.

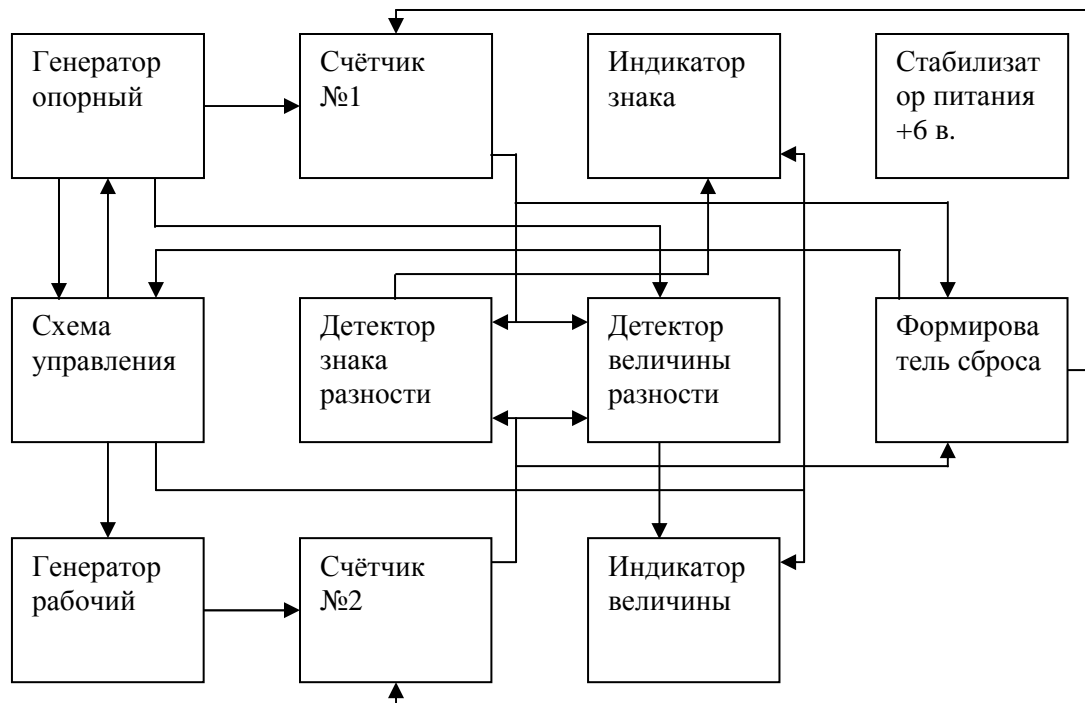


Рис. 4. Блок-схема торсимера ТСМ - 021

С помощью этого относительно несложного приборного средства автор ухитрился намерить торсионные особенности следующих объектов (список неполный):

1. Геометрические фигуры (11 вариантов).
2. Буквы русского алфавита прописные и цифры от 0 до 9.
3. Некоторые слова, имена и названия.
4. Примеры печатных текстов (2 варианта).
5. Некоторые печатные издания, в том числе важные для педагогов учебники русского языка разных авторов (около 30).
6. Фазовые торсионные портреты живых и неживых объектов (около 500), в том числе воды разного вида.
7. Дистанционные измерения человеческого организма, переходящего через состояние физической смерти.
8. Вращающиеся объекты.

*Совершенно отдельно стоит работа по информационному контакту с более высокой иерархией, условно называемой здесь «Высшим Разумом». Эта работа делалась в критической для меня ситуации, когда требовалось произвести некоторые стратегические программные установки в планировании торсионных работ. Результаты этого контакта здесь освещаться не будут.*

*Более подробную информацию из вышеперечисленного списка можно найти в материалах Конгрессов БЭИТ/БИЭТ разных лет от 1999 до 2009 г, проводимых в Барнауле, Москве, Екатеринбурге под неизменной редакцией П.И Госькова, а в последние годы Д.Н.Жданова. Неполный список ниже.*

1. Шкатов В.Т. Измерения торсионного контраста плоского изображения. БИЭ-99-, Барнаул, АлтГТУ 1999-с.15-22
2. Шкатов В.Т. О восприимчивости некоторых материалов к суточной вариации фонового торсионного поля Земли в точке наблюдения. БЭИТ-2000, Барнаул, АлтГТУ 2001-с.11-16.
3. Шкатов В.Т. Измерение биополя человека при его переходе через состояние физической смерти. БЭИТ-2003, Барнаул, АлтГТУ, с.33-37.
4. Шкатов В.Т. Структура воды под электронным микроскопом. Там же, с.38-45.
5. Шкатов В.Т., Лаптев Б.И., Сидоренко Г.Н. О дистанционной связи между параметрами торсионного портрета организма, измеряемого по фотографии, и проводимостью его биологических активных точек. БЭИТ-2002, Барнаул, АлтГТУ, 2002-с.38-39.
6. Шкатов В.Т. О временной структуре взаимодействия торсимеров с объектом измерения. Там же, - с.46-53.
7. Шкатов В.Т., Агапов Н.А., Лаптев Б.И., Сидоренко Г.Н. Исследование влияния на человеческий организм тонко-полевых факторов от различных источников психофизического воздействия. БЭИТ-2006, Барнаул-Екатеринбург.- с.60-64.
8. Шкатов В.Т., Агапов Н.А., Агапов Д.Н. Исследование тонко-полевой составляющей некоторых оптических и электрических элементов методами торсиметрии, там же, с.65-69.
9. Шкатов В.Т. Коломинская Е.А. Исследование тяжёловодородной составляющей воды методами торсиметрии. БЭИТ-2007,-Барнаул-Екатеринбург,2007,-с.96-99.
10. Шкатов В.Т., Агапов Д.Н. Об экспериментальных следствиях механического врацения. БЭИТ-2008, Барнаул: ООО»Uran4»,2008,-с.28-33.
11. Шкатов В.Т., Агапов Д.Н. Энергоинформационный парадокс при вращении тела вблизи торсимера ТСМ-021. БЭИТ-2009, Барнаул, ООО «Статика», - с.17-21.

Не хочу пересыщать изложение графическими материалами и иллюстрациями, но наиболее, на мой взгляд, важные моменты стоит отметить.



**Рис. 5. Внешний вид измерителя торсионных полей ТСМ-021. В правой части прибора (внизу) расположена колба с датчиком. Над колбой находится управляемый током торсионный затвор (ноу-хай).**

### **Раздел 3. Результаты**

Приведённые на рис. 6 результаты измерения торсионного контраста (ТК) плоского изображения получены при работе в первой половине дня, при ориентации прибора ТСМ-021 колбой на север. Эти результаты уже вошли в разряд известных и используются в публикациях других авторов. В дальнейшем выяснилось, что торсионный контраст даже простого плоского изображения зависит некоторым образом от времени суток, что даёт возможность оценивать его энергетику и влияние на биологические объекты.

Вообще говоря, в странном тонко-полевом мире намеряется столько всяких, как нужных, так и не очень, взаимодействий, что иногда возникают сомнения в целесообразности самих измерений. Самая главная проблема находится в уровне доказательности получаемых результатов, который напрямую связан с их повторяемостью. Жёсткой повторяемостью, независимостью от лабораторного антуража, общепринятых в научном экспериментировании, измерения торсионных полей не отличаются. Как правило, всегда имеются значительные трудности в ограждении измерителя от мешающих взаимодействий как локального, так и глобального характера.

### Геометрические фигуры на белом фоне

-8	-6	-1	-1	-0,5	0	1	3	5	6	10

### Буквы русского алфавита прописные на белом фоне

		<b>К</b>								
		<b>М</b>		<b>Б</b>		<b>Т</b>				
		<b>Н</b>	<b>Г</b>	<b>Р</b>	<b>Д</b>	<b>Х</b>				
		<b>П</b>	<b>Е</b>	<b>Ь</b>	<b>Ц</b>	<b>Ъ</b>	<b>Ё</b>			
	<b>А</b>	<b>У</b>	<b>И</b>	<b>Щ</b>	<b>Ш</b>	<b>Ы</b>	<b>Ж</b>	<b>В</b>		
	<b>Ф</b>	<b>Ю</b>	<b>Л</b>	<b>Я</b>	<b>Э</b>	<b>Й</b>	<b>З</b>	<b>Ч</b>	<b>С</b>	<b>О</b>
<b>-4</b>	<b>-3</b>	<b>-2</b>	<b>-1</b>	<b>0</b>	<b>+1</b>	<b>+2</b>	<b>+3</b>	<b>+4</b>	<b>+5</b>	<b>+6</b>

Отклонение от эталона в %

**Рис. 6. Результаты измерения торсионного контраста плоского изображения в варианте геометрических фигур и прописных букв русского алфавита.**

Тем не менее, необходимо учиться измерять тонкие поля и строить аппаратуру, удовлетворяющую требованиям научного эксперимента. И только если это будет практически невозможно, придется идти на коррекцию этих требований в сторону меньшей жесткости.

Результаты, представленные на рис. 6, демонстрируют широкий диапазон измеряемого торсионного контраста, от +10 для окружности до -8 для равностороннего треугольника. Равно как и от +6 для буквы «О» до -3 для букв «А» и «Ф». Интересно расположены контрасты прямой и инверсной свастики, звезды Давида и родной пятиконечной.

На рис. 7 мы видим результаты измерения удивительного объекта: ВОДА. Для дистиллята характерна очень узкая петля информационного гистерезиса. Он чист и готов для взаимодействия. Стоило воду чуть подсолить, как сразу же (и значительно) петля гистерезиса расширилась. Такое же расширение характерно для святой воды и индуцированной от неё. Различие последних двух вод и подсоленной воды заключено в наклонеочной части цикла: святая и индуцированная от святой воды полезны для организма, а солёная – нет.

Кстати, о торсионных фазовых портретах (ТФП). К сожалению, совсем недавно я встретил в одной работе (из Интернета) такую же аббревиатуру, только она соответствовала «тонким физическим полям». Я думаю, что ничего страшного в этом совпадении нет, история рассудит. Блок «торсионные фазовые портреты» введен мною в рис. 7. без особых разъяснений. Однако

методика получения ТФП и то, что за этим стоит, представляются мне весьма важными. Поэтому расскажу о подходах к ТФП чуть подробнее.

При измерении ТК ряда веществ (осадочные композиты из нескольких озёр Сибири и Казахстана) было замечено, что величина их ТК существенно зависит от времени суток. Измерения каждого из веществ в течение нескольких суток определённо указывали на цикличность этой зависимости. Было принято решение строить суточные зависимости ТК этих и других объектов в функции циклического времени, а именно в цепочке 10-12-14-16-18-20-22-24-02-04-06-08-10 часов местного, либо иного поясного времени. При этом на графике особым приоритетом выделяются моменты времени 10, 16, 22 и, при необходимости, 04 (ночь). Значения ТК в первые три обязательных момента времени (10, 16 и 22 часа), т.е. в прямом ходе, редко ложатся на прямую линию и чаще всего образуют угол, не равный  $\pi$ . Замыкая этот угол обратным ходом в виде прямой линии через моменты времени 22 и 10 часов, получаем простейшую фигуру – треугольник. Этот треугольник размещается на координатной сетке: по оси абсцисс внизу – моменты времени прямого хода 10, 16, 22, по этой же оси вверху моменты времени обратного хода 22, 04, 10; по оси ординат – значения ТК в соответствующих единицах. По внешнему виду конфигурация, образованная замкнутой кривой

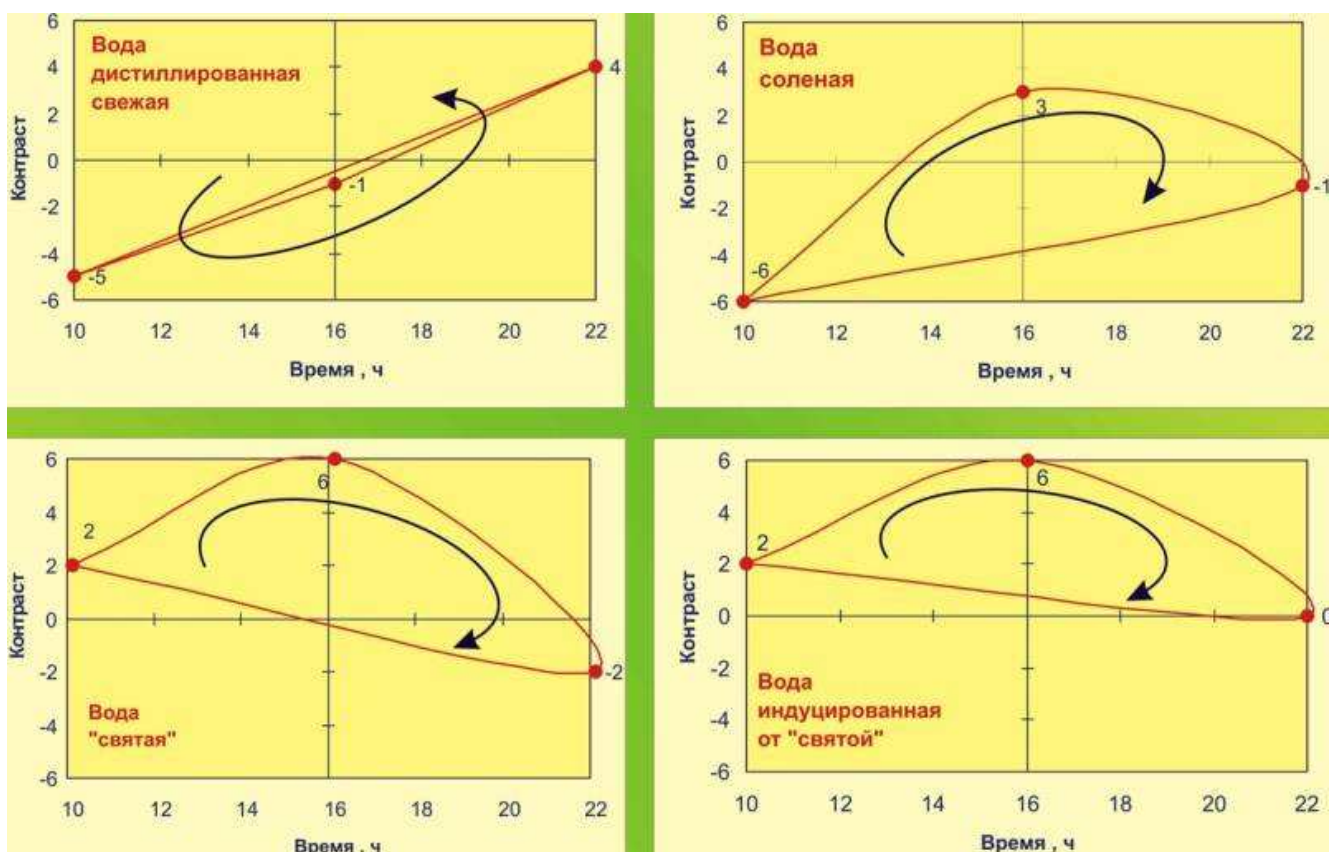
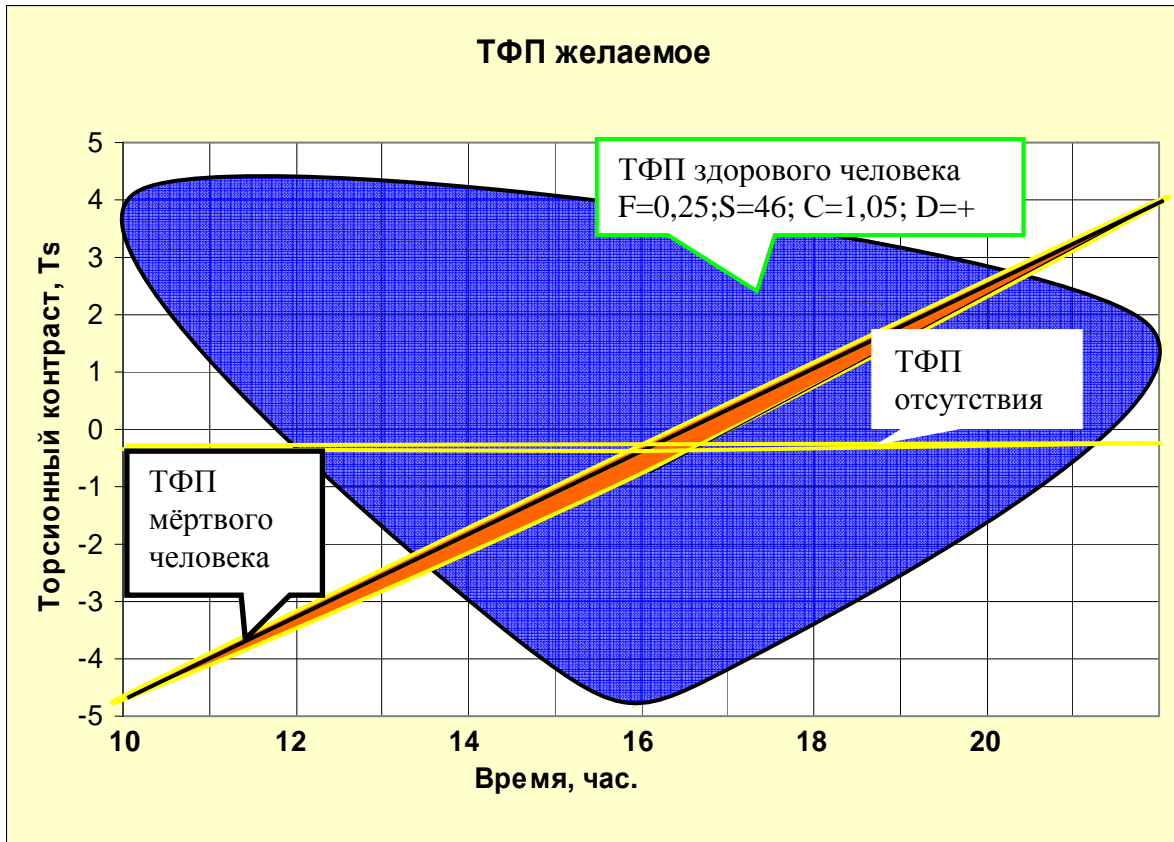


Рис. 7. Торсионные фазовые портреты, как циклические зависимости ТК от циклического времени, для объекта ВОДА - разного информационного содержания: свежая дистиллированная, солёная, святая и индуцированная от святой.

напоминает упрощённую фигуру Лиссажу. Вполне допустимо называть её торсионным фазовым портретом (ТФП) – см. [1] в списке литературы выше. Такой вид представления ТК =  $f(t)$  вполне целесообразен для квазигармонических меняющихся величин, когда нет существенной разницы между периодами.

Торсионный фазовый портрет, изготовленный таким образом, является минимальным приближением к истинному, округлому фазовому портрету. Однако такое упрощение облегчает

последующие вычисления параметров ТФП. Треугольник совместно с координатной сеткой, на которой он расположен, имеет четыре относительно независимых параметра: наклон ночной линии – F, площадь – S, смещение центра в момент 16 часов – C, направление обхода контура – D. Знаки этих параметров выбраны таковыми: F - положителен при отрицательных углах, т.е. при повороте по часовой стрелке; S – положительна всегда; C – положительна вверх и отрицательна вниз; D – положителен при обходе контура ТФП против часовой стрелки и отрицателен при обратном обходе. Разумеется, что при определении FSCD-параметров нужно учитывать масштабные коэффициенты по осям координат. Стилизованный пример ТФП приведён мною на рис. 8. Из подписи под рисунком всё должно быть понятно. Под отсутствием информационного контакта следует понимать либо сбой в аппаратуре, либо отсутствие объекта, обозначенного в задании.

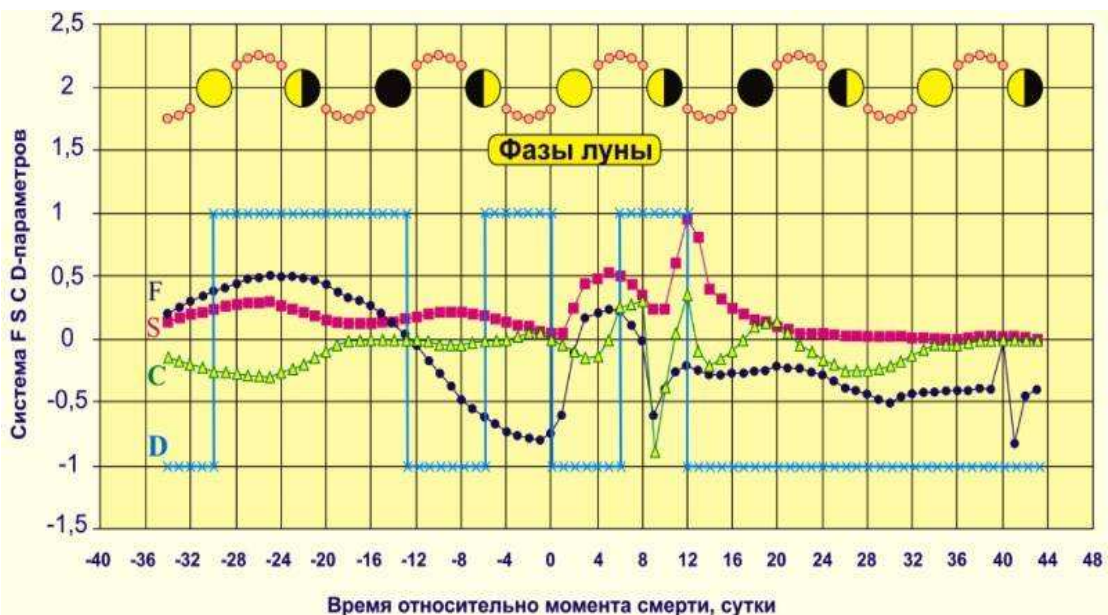


**Рис. 8. Стилизованные ТФП:** для условно здорового человека (автор по фотографии ~40 лет, сейчас ему 70), для отсутствия информационного контакта прибора с объектом и умершего естественным образом, по состоянию более 40 суток.

Методом ТФП за прошедшие годы измерены тонко-полевые особенности нескольких сотен людей по их химическим и электронным фотографиям, в том числе несколько десятков потерявшихся, либо неживых. К этому следует прибавить несколько экземпляров животных, вариантов технических устройств и веществ (твёрдых и жидких).

В целом метод ТФП и его расширения непрерывно развиваются как в приборном, так и методическом аспектах. Намечено разработать автоматизированный программно-аппаратный комплекс для безлюдных периодических измерений ТФП (своего рода ТФП - мониторинг объекта) с последующим переходом к «ТФП – трубке». Под трубкой здесь понимается 3D-построение с использованием кроме циклического времени также нормально текущего, базового времени. Это позволило бы мониторировать всю «жизнь» конкретного объекта, например, человека, составлять архив и т. д.

Наверное, невозможно не упомянуть здесь нашумевшую историю с мониторингом умирающего организма по его фотографии, который мне удалось (вместе с сыном) сделать вскоре после отработки методики ТФП в 2002-2003г. Материалы этой работы опубликованы в 2003г., см. выше список, поз. №3. Через несколько лет мне позвонили из редакции газеты «Жизнь», напросились приехать для интервью. В результате в двух соседних номерах от 06.04.05 и 13.04.05 появились соответствующие стилю этой газеты статьи обо мне и самой работе, сильно приукрашенные. Причём, в томском варианте на фотографии (как они снимали, мне неведомо, так как я не разрешал это делать) был изображён автор, а в московском варианте под моей фамилией выступал другой человек, тоже томич. На рис. 9 показаны результаты работы в обработке П.В.Шкатова.



**Рис. 9. Торсионный мониторинг умирающего человека методом ТФП с использованием FSCD-параметров. На верхней кривой условно представлены фазы Луны, привязанные по времени к событиям на нижних кривых.**

Интервал мониторинга содержит 40 суток до смерти тяжелобольного человека и 43 сутки после. Видно, что за 12-14 суток до момента «0» параметр F (фаза) изменялся по величине, но была положительной. Затем этот параметр перешёл ноль, и включились периодические изменения параметра D (знака энергии взаимодействия человека и окружающей его среды) с полупериодом 1 неделя. В напечатанном варианте работы я назвал это явление часами смерти. Интересно, что часы эти остановились через 12 суток после момента «0». Очень странная симметрия!

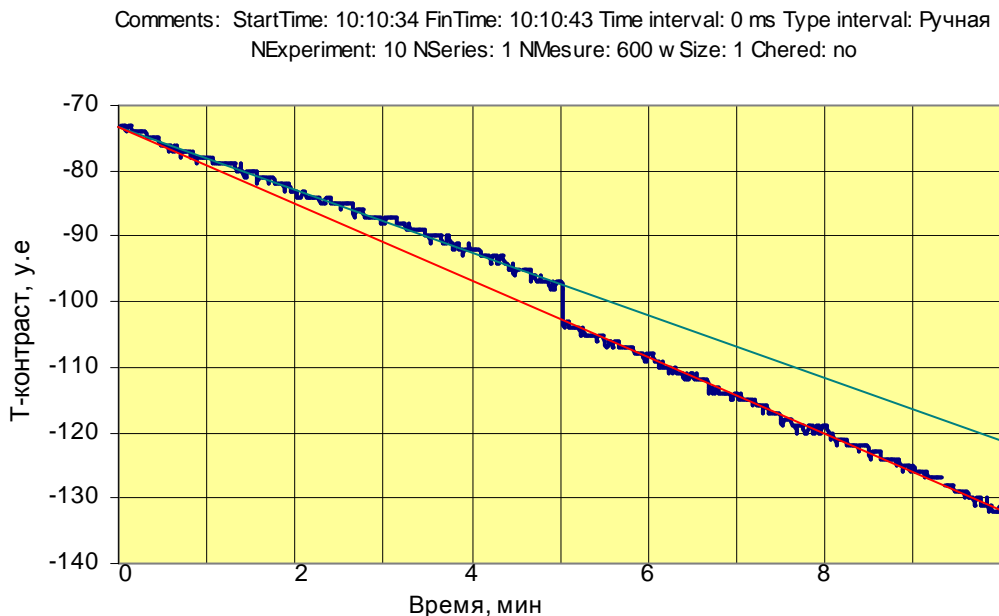
Не менее интересно, что все FSCD- параметры существенно «возбудились» в интервале 0-12 суток, причём в суженном интервале 0-8 суток они, в общем, были положительными, на 9 сутки произошёл резкий спад и переполюсовка, а затем медленная релаксация с коротким безэнергетическим всплеском на 40 сутки. Всё это в значительной мере совпадает с религиозными канонами.

Но какой нежелательный резонанс вызвала газетная статья в «Жизни» среди сотрудников той закрытой «конторы», в которой я тогда работал! Упомянутая «контора» находилась в соседнем городе, в который мне приходилось ездить в течение 6 с лишним лет, по 4-5 раз в неделю.

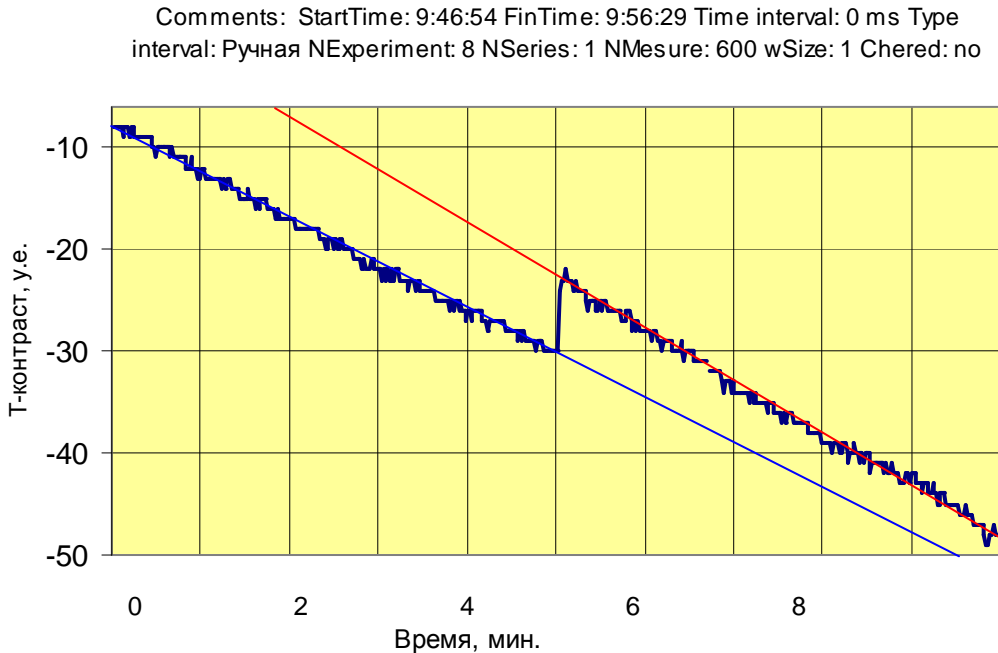
И, наконец, самая свежая работа на приборе ТСМ-021. Она была нацелена на исследование влияния реверсивного механического вращения на материалы. В этом

эксперименте на небольшом расстоянии от блока измерительного преобразователя, над датчиком ТСМ-021, с небольшой скоростью, около 7 оборотов/минуту, запускалось вращение металлического диска в одну, либо другую сторону. Прибор специально для этого эксперимента сопрягался с компьютером, в который сбрасывались текстовые файлы. По этим текстам затем строились графики с фазами до вращения и с вращением, продолжительностью по 5 минут (по 300 измерений на фазу). На рис. 10 а и 10б вашему вниманию предлагаются соответствующие записи.

На рисунках 10а и 10б отчетливо видно, что в момент начала вращения ход кривой испытывает симметричный скачок в 7-8 пунктов используемой шкалы. Направление этого скачка прямо связано с направлением вращения. Сам по себе наклон кривых определяется темпом общего поступления тепла в датчик. Так устроен прибор ТСМ-021, не имеющий пока активного высококачественного термостата для датчика. Однако этот прибор имеет пассивную тепловую связь (термос), препятствующую быстрой передаче тепла снаружи. Учитывая это, можно предположить, что безинерционное увеличение наклона кривых в обоих вариантах вращения связано с выработкой тепла непосредственно в материале датчика. Грубая оценка показывает, что эквивалентная плотность тепловой мощности от вращения составляет 0,1-0,5 Вт/м<sup>2</sup>.



**Рис. 10а. Мониторинг вращения диска влево. Прямыми линиями подчёркнуты наклоны участков до и после начала вращения. В момент t=5 минут произошло включение вращения.**



**Рис. 106. Мониторинг вращения диска вправо. Прямыми линиями подчёркнуты наклоны участков до и после начала вращения. В момент  $t=5$  минут произошло включение вращения.**

На этом мы с вами пока закончим разговор о подступах к детектированию столь заманчивых торсионных полей, о реализации своего первого измерителя ТСМ-021 (хотя, честно говоря, в отсутствии аттестованной единицы ТП и калибровочных работ его следовало бы называть индикатором поля). И перейдём к следующему разделу, посвящённому как раз этой проблеме.

## Раздел 4. Метрологические попытки

Совершенно очевидно, что меня, как и других пользователей измерителей ТП, не устраивало отсутствие воспроизводимой системной единицы торсионного поля. Этот недостаток блокировал какие-либо попытки экспериментаторов сопоставить свои результаты измерений с результатами других исследователей, по крайней мере, в абсолютных измерениях. К тому же всё отягощалось негативно-агрессивным отношением большинства ортодоксальных учёных, в основном физиков, к исследованиям тонких физических полей. Заставляло поисковиков - торсионщиков прятаться, работать под камуфляжем и прикрытием. Трудно, а иногда невозможно было обсуждать проблемы тонких полей в кругу высокопрофессиональных физиков. Это никак не компенсировалось семинарами и конференциями среди всё принимающих полупрофессионалов, иногда любителей просто поговорить о разных разностях. Создание Комитета по борьбе с так называемой лженаукой в составе Академии РАН (один из самых позорных актов научного вандализма) мешает публикациям результатов исследований ТП в рецензируемых журналах, защитам диссертаций, контактам с метрологическими организациями. И это стало почти государственной политикой. В какой-то мере подобные отягощения имеются и за рубежом. Но что-то делать надо, не дожидаясь «высочайшего» разрешения.

Действительно, стандарта статического торсионного поля до сих пор нет. Для поля излучения кем-то придумана и как будто зарегистрирована странная единица *Вернад*, как некоторое подобие столь же странных внесистемных единиц «свеча» и «лошадиная сила». Мне как-то неловко за великого учёного и мыслителя, чью фамилию использовали таким образом.

Эта единица, по моим данным, соответствует интенсивности биополя среднего человека. Но ведь биополе содержит не только торсионную, но тепловую и электромагнитную составляющие. Да и где этот средний человек?

Примерно в 2002 году мне показалось, что пора переходить в идеологическую атаку на этalon ТП. Сомнения, конечно, были. Их питали разные предложения – попробовать, например, формовые особенности: цилиндры разного удлинения, конуса, пирамиды и т.д. Я их более или менее взято отбраковывал по причине зависимости их торсионного контраста от времени суток. Какой же это этalon, если утром он будет иметь положительность, а вечером отрицательность? Или наоборот. А далее идут зависимости от времён года! Принял решение использовать вращение как коренной фактор торсионных полей.

Далее дело техники, в коей мне не занимать опыта. Всю жизнь экспериментирую. Самое главное – определиться с измерительным средством. Испытанный измеритель TCM-021, увы, для этой цели малопригоден, так как является интегрирующим и не имеет активного термостата. К этому времени у меня уже был готов дифференциальный двухходовой прибор TCM-030, имеющий на порядок большую чувствительность, чем TCM-021 и не нуждающийся в термостатировании датчиков, рис. 11. Датчики этого прибора конденсаторные, на основе высокопроницаемой керамики. Их два, по одному в каждом из двух ортогональных каналов, снабжённых формовыми трёхкаскадными усилителями. Каждый из каналов оснащён встроенными управляемыми торсионными затворами (ноу-хау). Один из каналов содержит лазерный прицел для точного наведения на объект и снятия с него информации. Прибор имеет автоматическую установку нуля, автономное питание и связь с компьютером.

Следующая позиция в установке для метрологических проб – вращаемые тела: одинаковой массы, но разной формы - дюралюминиевый шар и удлинённый латунный цилиндр, и одинаковой формы, но разной массы - из латуни, алюминия, сухой сосны и пенопласта. Плотность латуни 8,7 г/см<sup>3</sup>, алюминия 2,7 г/см<sup>3</sup>, сосны 0,45 г/см<sup>3</sup>, пенопласта 0,02 г/см<sup>3</sup>.

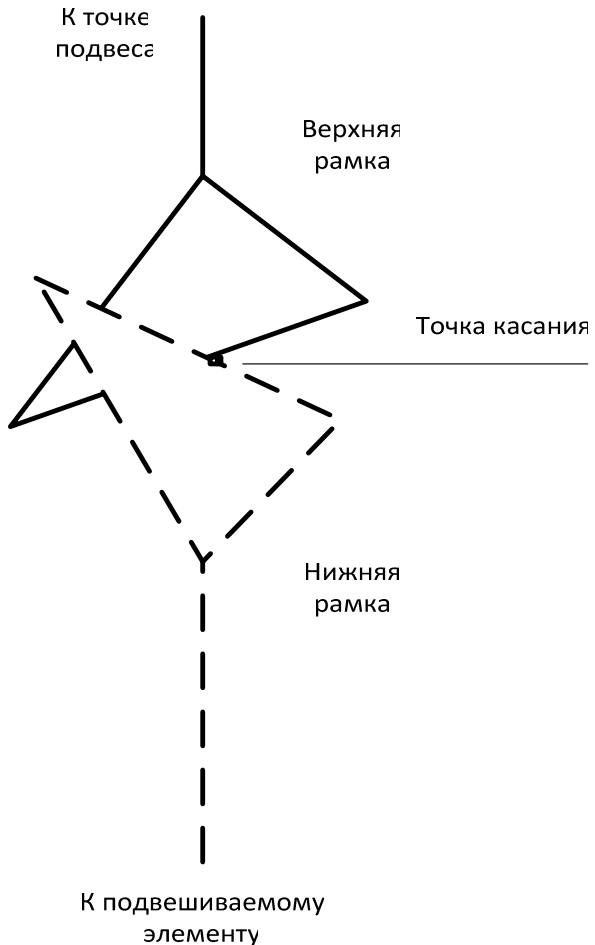


Рис. 11. Торсимер TCM-030.

Наконец, привод вращаемой массы. Он осуществлялся с помощью торсиона - подвеса длиной около 1 метра и электродвигателя постоянного тока с редуктором, расположенным под

потолком. Для торсионной развязки привода и измерителя в разрыв торсиона врезался крестообразный фильтр-пробка.

Крестообразный фильтр-пробка в данном варианте представляет собой конструкцию подвеса с торсионной развязкой подвешиваемого элемента и места подвеса - вращаемый диск и привод этого диска. Содержит крестовой элемент, см. рис. 12.



**Рис. 12. Торсионный фильтр-пробка.**

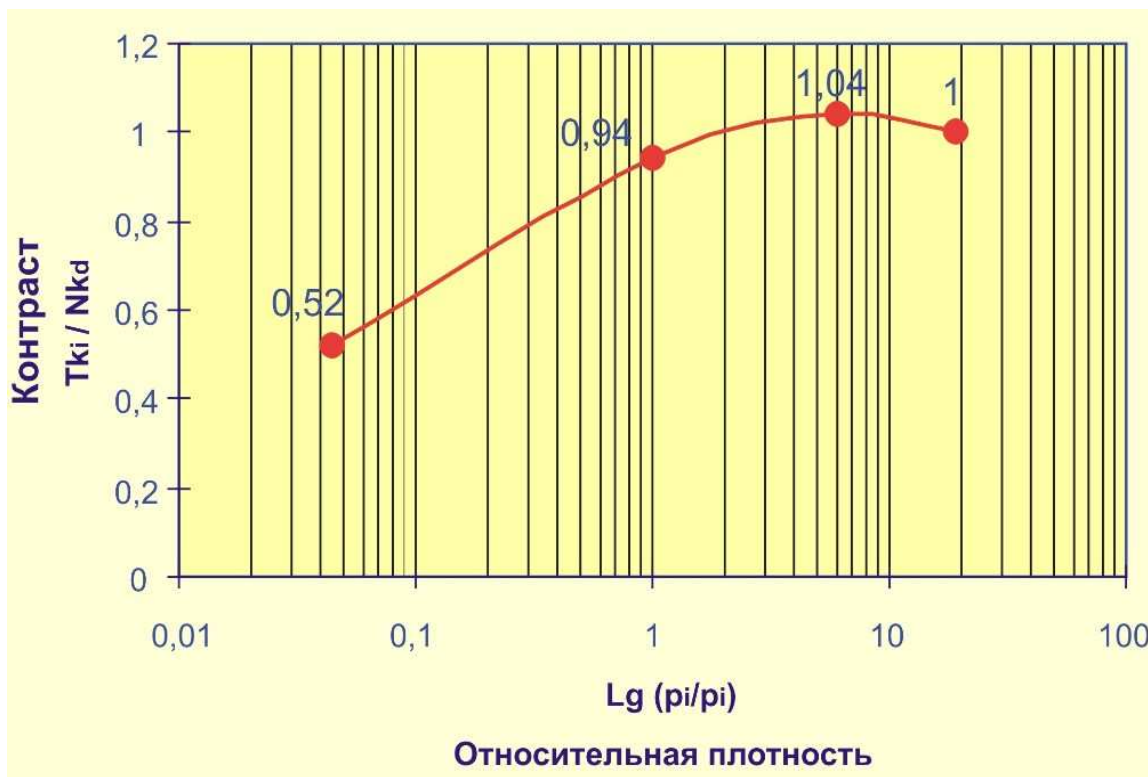
Он содержит два равносторонних треугольника из проволоки, лучше медной, размер стороны треугольника А много больше диаметра проволоки ( $k=20-30$ ). Один из треугольников охватывает второй, либо касается. Точка касания находится на половине стороны каждого из треугольников. Она может быть пропаяна.

Работает система, по-видимому, так (не строго). Гипотетический спиновый поток, идущий сверху из точки подвеса, ориентирован в перекладине верхнего треугольника вдоль неё и это представляется естественным. В перекладину нижнего треугольника должна просачиваться малая часть спинового потока, остальная часть рассеивается в стороны через свободные углы верхнего треугольника. Низкий коэффициент передачи спинового потока из верхнего треугольника в нижний треугольник обусловлен невыгодностью конфигурации (прямой угол между перекладинами) точки касания треугольников и размерными соотношениями. Аналогичные рассуждения можно проводить и в обратном направлении и с тем же эффектом. Система найдена интуитивно и проверена практически мною.

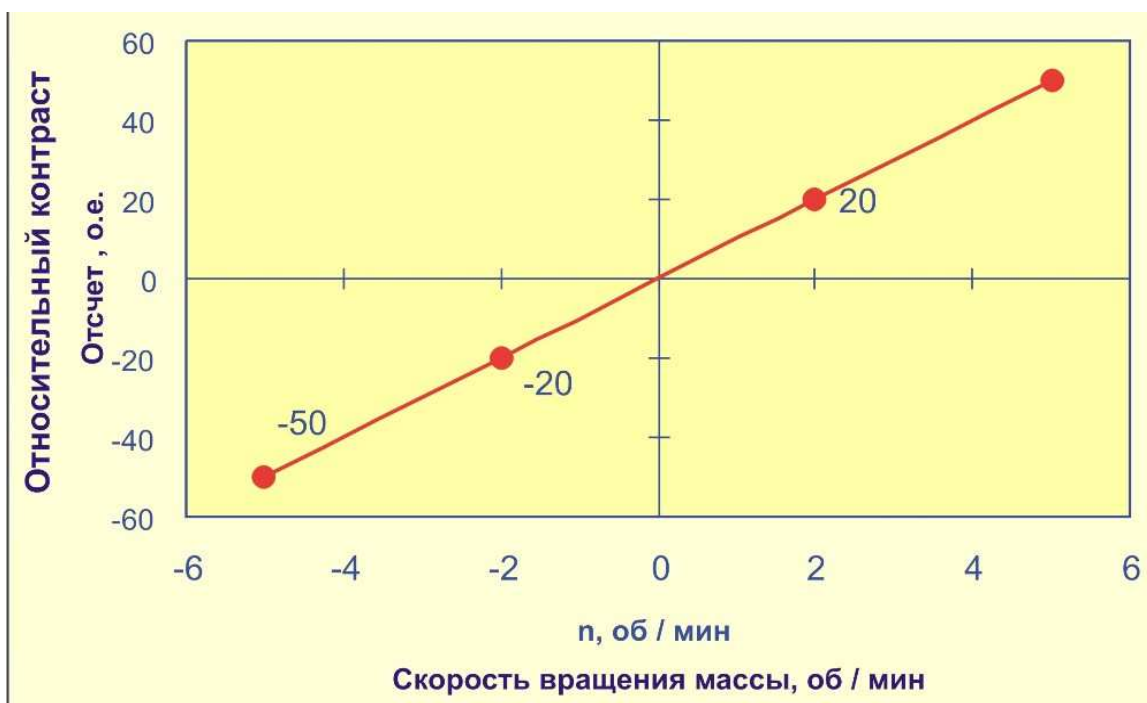
*Более подробную информацию об установке и методических тонкостях метрологических проб можно получить в Материалах БЭИТ-2002, Барнаул, АлтГТУ, 2002.-с.54-64.*

Здесь я привожу ещё два рисунка по результатам эксперимента с вращаемыми телами, рис. 13 и рис. 14. Из последнего видна линейность характеристики торсионный контраст: скорость вращения весьма линейна в диапазоне используемых скоростей. Каждая точка на графике соответствует средней из 20 измерений. Из кривой рис. 13 следует удивительный факт, заключающийся в том, что измеряемый торсионный контраст довольно слабо зависит от массы вращаемого тела, при прочих равных условиях ~2 раза при отношении плотностей 435! Это прямо указывает на то, что основной вклад в измеряемый торсионный контраст вносит не момент импульса вращаемого тела, а сам факт вращения, т.е. угловая скорость.

Опуская подробности обработки результатов эксперимента, привожу итог. Размерность единицы торсионного поля совпадает с размерностью угловой скорости, т.е. « $\text{с}^{-1}$ ». Можно предлагать системную единицу, равную  $0,1 \text{ с}^{-1}$ . Мне бы хотелось назвать эту единицу ТОРСИ (TORSI). Такая величина системной единицы торсионного поля позволяет укладывать реальные поля объектов в диапазоне  $0 \div 10 \text{ T}_\text{s}$ , в крайнем случае, в пределах  $0 \div 25 \text{ T}_\text{s}$ , что практически удобно.



**Рис. 13.** Зависимость торсионного контраста вращаемого тела одного размера, но изготовленного из материалов разной плотности. Шкала плотностей логарифмическая.



**Рис. 14.** Зависимость относительного торсионного контраста вращаемого тела от скорости и направления вращения этого тела.

## Раздел 5. Детектирование опасных веществ на расстоянии

Возможности ТСМ-030 не ограничиваются работой, описанной выше. Ниже я приведу некоторые результаты пробных экспериментов с диагностикой опасности, исходящей от следующих веществ: тротил, аммонит, тетрил/гексил, порох дымный, порох пироксилиновый, псевдотротил, топливный порох №1, топливный порох №2. Указанные вещества участвовали в произвольной выборке наряду с пустой тарой слепым методом. Работа производилась с применением лазерного зонда на расстоянии 1,5 метра (расстояние между соседними столами в лаборатории). Зонд направлялся на упаковку пустую, либо с веществом (несколько десятков микрограмм). На втором входе прибора размещалась текстовая информация, напечатанная на компьютере. Набор этот обозначен в верхней части таблицы: без указания, опасное вещество, взрывчатка, тротил, порох общий, порох пироксилиновый, ракетное топливо (твёрдое). Полученные результаты сведены в таблицу 1, представляющую собой шахматную конфигурацию с координатами: набор указаний (что искать?) – по горизонтали, набор реальных веществ в одинаковых упаковках (спичечные коробки с одинаковыми наклейками) и маркировкой с нижней стороны в виде точечно позиционного кода – по вертикали.

Табл. 1

Вещ-во	Без указ.	Опасное вещ-во	Взрывчатка	Тротил	Порох общий	Порох пирокс.	Ракетное топливо
Тротил	--11,2	+5,8	+10,8	+7,4	--13,2	+0,6	--7,4
Аммонит	--13,0	+10	+14,6	+9,8	--9,6	--1,8	--8,6
Тетрил +Гекси	--9,4	+13,8	+16,8	--11,6	--2,4	--9,0	--8,2
Порох дымн.	--1,0	+11,6	+6,6	--5,6	+11,4	--4,2	+14,0
Порох пирокс	--4,7	+10	+15,2	0,0	+13,2	+12,2	+10,4
Тротил учебн.	--0,6	--6,2	--11,7	--14,0	+1,3	+0,2	--8,6
Тара пустая	+1,2	--12,4	+0,7	--19,6	--12,4	--15,0	--14,2
Топл. Порох 1	+0,2	+9,0	+13,6	+5,2	+5,2	--3,0	+6,8
Топл. Порох 2	--1,8	+10,0	+13,4	--7,8	--9,6	--5,6	+6,6

Из таблицы 1 видно, что корреляция указаний и реальных объектов получается весьма хорошей, даже лучше ожидания. Тара пустая даёт либо большое отрицание, либо не подтверждение<sup>1</sup>. То же самое показывает тротил учебный (похожий на тротил по цвету и структуре порошок). Похожим образом ведёт себя столбец «без указаний». Все остальные реальные и опасные объекты хорошо реагируют на указание «опасные вещества» и «взрывчатка», тротил и аммонит реагируют на указание «тротил», порох дымный и пироксилиновый перекликаются неплохо с указаниями «порох общий» и «ракетное топливо», а порох пироксилиновый отдельно реагирует на указание «порох пироксилиновый». На указание «ракетное топливо» отзываются оба пороха и оба ракетных топлива. Это, в общем, мне понятно. Не совсем понятна противоположная реакция двух видов твёрдого ракетного топлива на указание «тротил» и «порох общий», возможно, здесь имеет место какая-то некорректность в постановке указания в целом, либо принципиальное отличие топлива №2 от топлива №1 по их отношению к данным указаниям. Положение усложнено тем, что крупицы топлива обоих типов получены из эксклюзивных источников и состав его мне неизвестен.

*В целом, полученные результаты не могут не впечатлять людей со свободным мышлением, но технология их получения совершенно непонятна начальникам, принимающим решения. В частности, поэтому полученные результаты ранее не публиковались.*

Дальнобойность этой технологии в принципе ограничивается возможностями прямого лазерного контакта, с использованием хорошего лазера (лучше инфракрасного) с расходимостью  $10^{-5}$  и лучше она может достигать километров. Необходимо отметить, что

---

<sup>1</sup> При диагностике вредных веществ более 5 измерений на точку делать нет смысла, так как система «устаёт» от процедуры измерений (макроскопический квантовый эффект).

возможен и непрямой лазерный контакт<sup>1</sup> с диагностируемым опасным объектом через любое его изображение, допустим на экране компьютерного монитора. Это может быть изображение, полученное по электронной почте, либо введено в компьютер из внешних устройств: веб - или телекамеры. Мною такие пробы также производились, получены вполне удовлетворительные результаты, правда, в оптимальных лабораторных условиях. Данный тонкополевой аспект проблемы по диагностике с удалённым доступом к объектам будет подробнее освещён в следующем разделе.

## **Раздел 6. Работы с тонкополевой аурой неживых объектов и их изображений**

Всё, что описано выше, получено при информационном контакте измерителя с объектом в целом. Простая логика исследователя рождает законные вопросы, а что значит целое по отношению к тонким полям, где это целое кончается, и кончается ли? Каков тонко-полевой состав целого? Как внутри вещественного объекта, так и снаружи? Может ли аппаратура серии ТСМ справиться с такими задачами? ТСМ-021 вряд ли. ТСМ-030, в принципе может, так как содержит лазерный зонд, но он весьма интеллектуален и даже своенравен. Может спонтанно перейти в режим самолюбования и отключиться от внешних объектов.

В связи с этим специально для аурометрических работ был разработан и штучно реализован прибор новой серии SADAF – анализаторы структурно-динамических полей. Первенец этой линии SADAF-08LC имеет небольшую 8-битную встроенную память для результатов измерения, пару раздельно нацеливаемых лазерных зондов, автоматически переставляемый таймер для работ по установленной программе, 8-позиционный ЖКИ - индикатор результата и его адреса в памяти, а также сопряжение с ПК. Внешний вид SADAF-08LC показан на рис. 15.

Устроен прибор достаточно сложно. У него один, общий для обоих каналов, датчик на основе резистивного материала – вольфрама. С датчиком информационно соединены два поочерёдно переключаемых лазерных зонда.

---

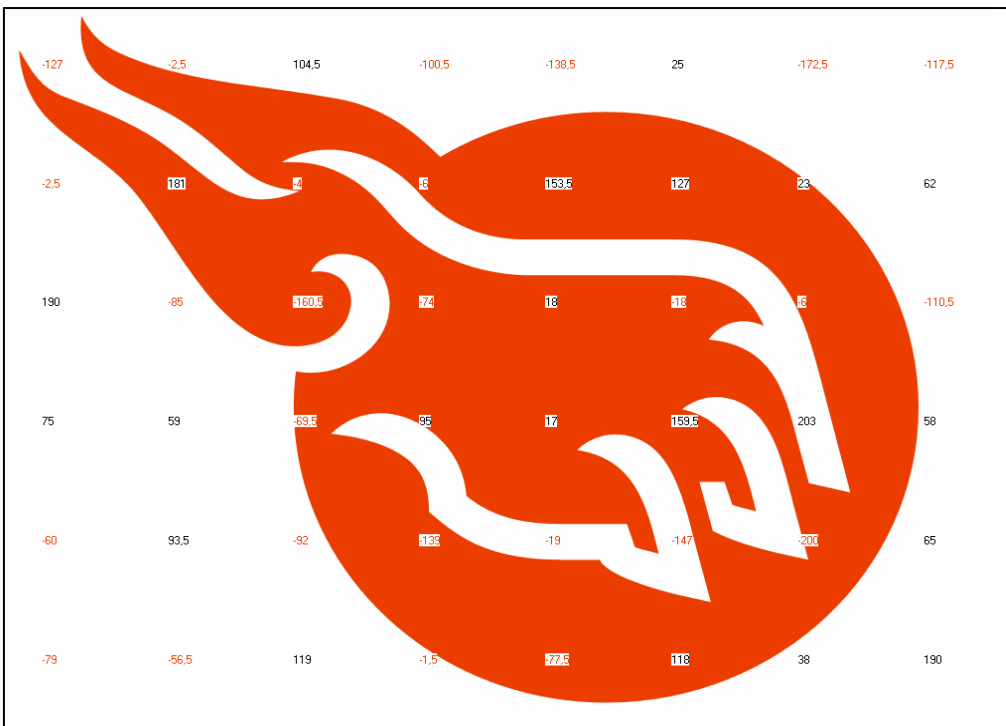
<sup>1</sup> Лазерный контакт тоже можно объяснить через спиновые подходы. Речь, правда, здесь идёт не об отдельных микроскопических спинах, известных нам из классической физики микрочастиц, а о коллективных образованиях из спинов, предполагающих их информационное взаимодействие. В последние годы новая физическая литература изобилует моделями квантовой коллективизации: спутанные квантовые состояния, захваченные фотоны (у Гаряева в его работах, напр.) Мне больше нравится словосочетание «длинный фотон». Это, когда два конца лазерного луча обмениваются между собой тонкой информацией (не энергией, она переносится всегда от места генерации луча по ходу его распространения). В этом случае, информация в лазерном луче принадлежит всему «объёму» луча. Луч как металлический проводник - замыкает информационно две точки. Причём, тонкая информация передаётся как по ходу луча, так и против его хода. Грубую, привычную информацию, передаваемую через модуляцию энергии того же лазерного луча, можно передать только вперёд, по его ходу, с соблюдением всех пространственно-временных (причинно-следственных) норм. Реализация лазерного информационного контакта – обычная лазерная указка, либо более качественная твердотельная лазерная головка со стабилизацией тока. Информацию можно вводить в корпус этой головки, а на другом конце отрезка луча может быть объект или датчик. Можно наоборот, датчик присоединён к головке лазера, а на другом конце объект. Система многовариантна.



Рис. 15. Анализатор структурно-динамических неоднородностей SADAf-08LC на штативе, с навесным оборудованием.

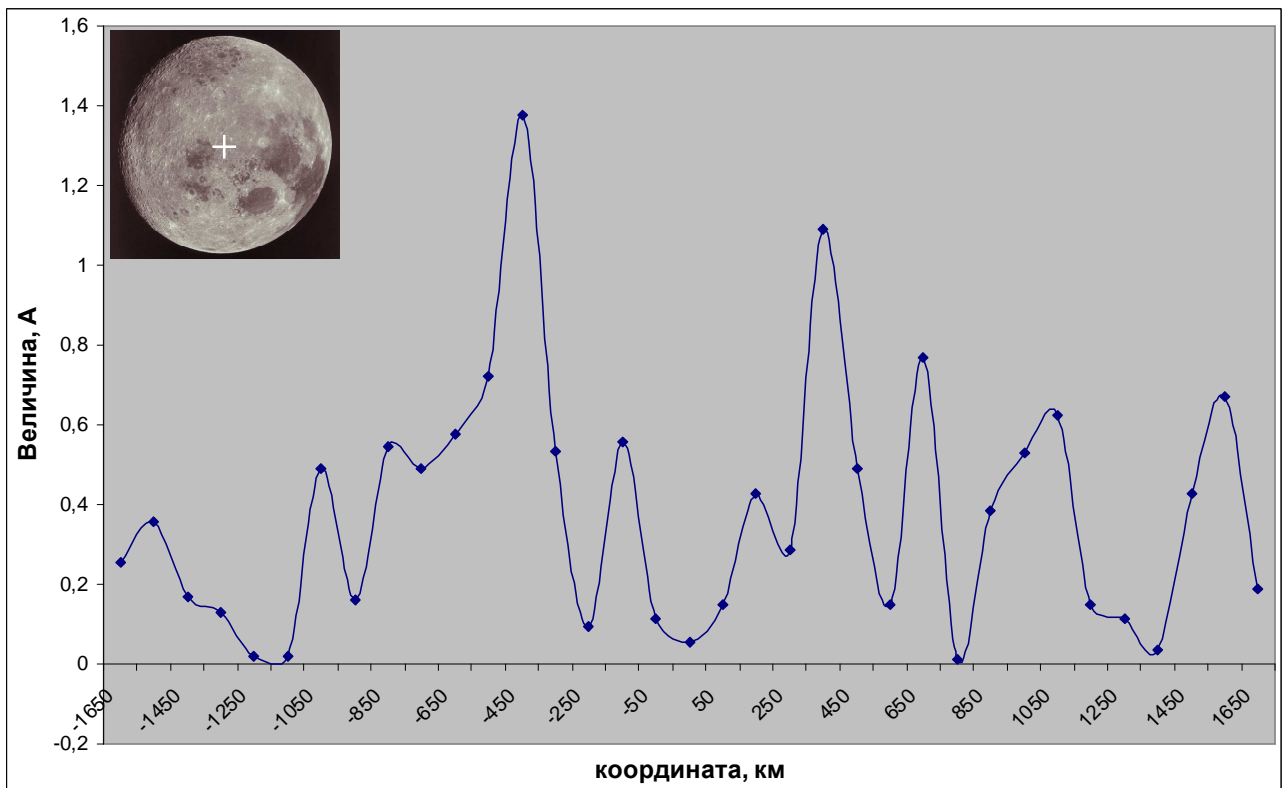
Синфазно с переключением лазеров коммутируется вычитающий вход приемника, разность сигналов оцифровывается и запоминается во внутренней памяти прибора, параллельно идёт запись в ПК. Прибор практически не нуждается в прогреве и стабилизации температуры датчика.

Работать на SADAf просто и приятно. После активации специальной программы обслуживания один из зондов направляется в окно на экране монитора ПК, в котором записывается текстовое указание с отметкой года, месяца, числа, текущего времени. Другой зонд направляется на объект и его окрестности, либо на изображение этого объекта и окрестности этого изображения. В частности, изображение объекта может быть размещено в другом окне экрана того же монитора. При этом, по другой специальной программе это изображение может подставляться, той или иной частью, под неподвижный лазерный зонд с запоминанием позиции и результата. Закон, по которому производится развертка изображения, может быть прямой или обратно строчный, прямой или обратно столбцовый, по случайному закону и с любым соотношением сторон прямоугольника. Устанавливается количество измерений в «точке» и количество «точек». После отработки программы на экране появляется оцифрованный тонкополевой «рельеф» объекта и его окружения, который в дальнейшем может быть преобразован в 3D-аяру, см. рис. 16.

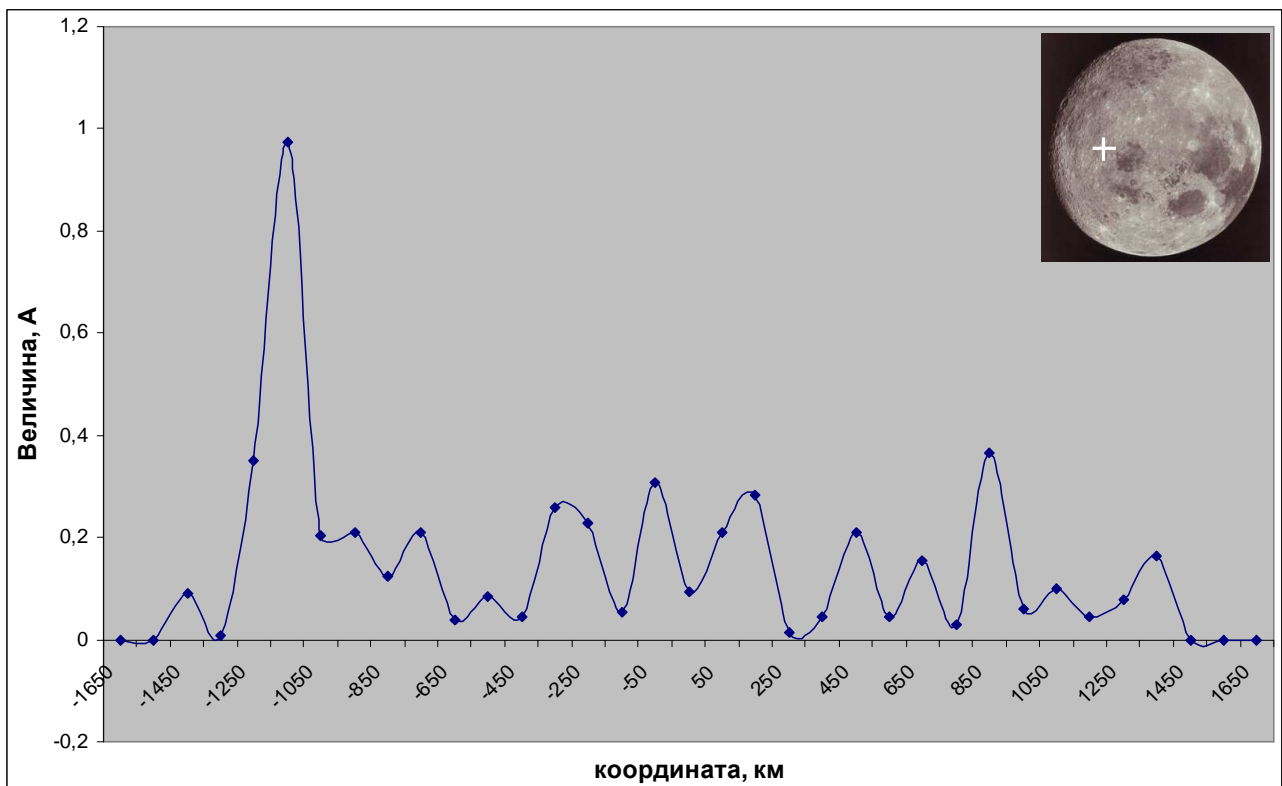


**Рис. 16.** Пример подхода к построению ауры рисунка-логотипа «Алый лев» с помощью комплекса SADAФ-08LC. Синим цветом, окрашены значения положительного контраста, красным – отрицательного, измерительное поле ограничено  $8*6=48$  «точками». Продолжительность полного цикла измерений ~30 минут.

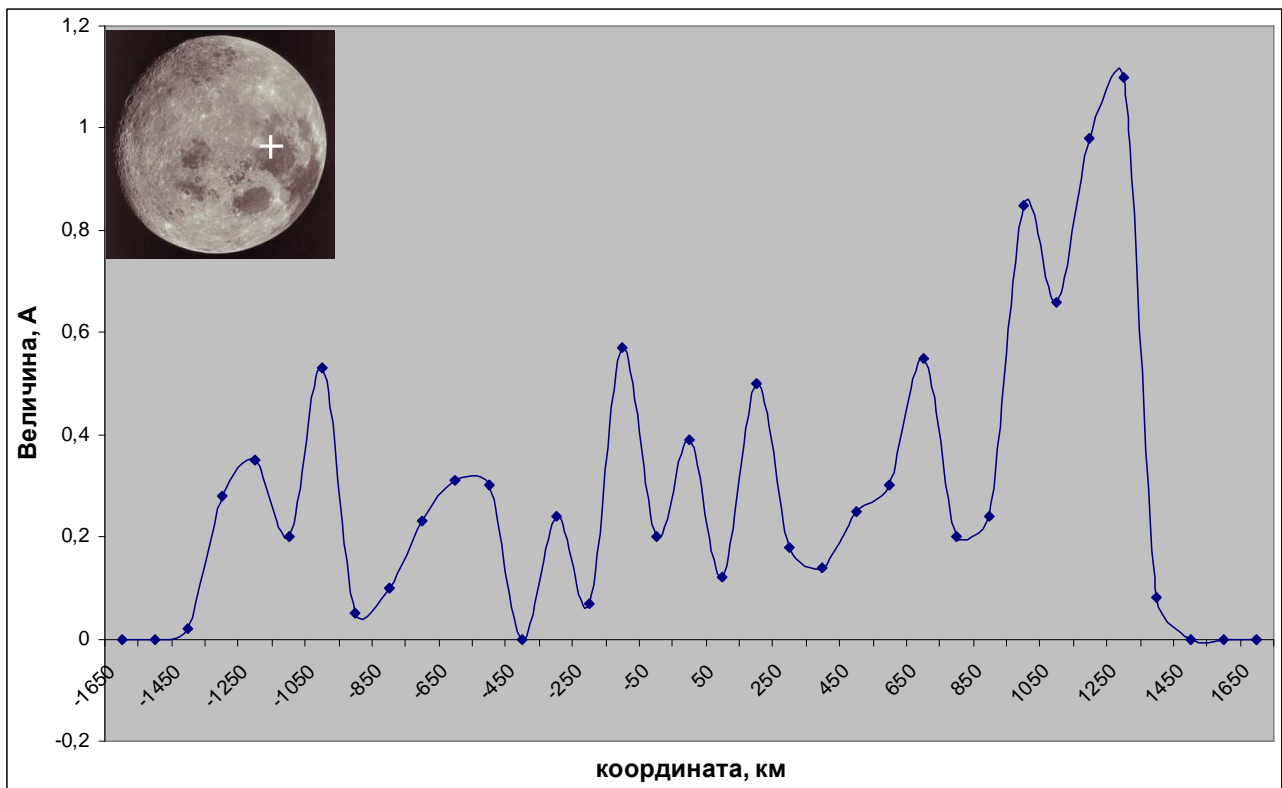
С помощью прибора SADAФ делались попытки виртуального сканирования вглубь удалённого реального объекта (виртуальное бурение) по изображению этого объекта. В таком эксперименте напрямую используются информационные возможности Физического Вакуума. Для этого левый лазерный зонд прибора устанавливался на реальный текст задания, например: виртуальное сканирование Луны, вглубь указанной точки, шаг сканирования 50 км, глубина сканирования 3400 км, направление сканирования прямое, количество проходов 8. Правый лазерный зонд определяет точку прицеливания на изображении объекта: центр, слева от центра на половине радиуса, справа от центра на половине радиуса. Результат работы именно с этим заданием представлен на рис. 17-19. По горизонтали – координата симметричная в километрах, по вертикали – нормированный торсионный контраст.



**Рис. 17. Виртуальное бурение Луны по центру видимого изображения. Фото NASA.**



**Рис. 18. Виртуальное бурение Луны слева от центра видимого изображения. Фото NASA.**



**Рис. 19. Виртуальное бурение Луны справа от центра видимого изображения. Фото NASA.**

Что можно добавить по этому поводу? Полученные результаты, по всей вероятности, показывают типичную автодифракционную картину объекта в собственном торсионном поле. Симметрия картины зависит от симметрии объекта, а размер характерных колебаний величины «A» от размера объекта. Не исключено, что из анализа этих колебаний можно извлечь полезную информацию. Забавно, например, что в первой картинке имеется минимум колебаний в центре Луны! Может быть, это соответствует наличию полости диаметром ~800-1000 км? Проверка на сплошном стальном шаре этому предположению не противоречит.

Кроме указанных выше объектов - рисунка-логотипа, расположенного рядом, и реального весьма удалённого небесного тела, производилось детектирование распределения торсионного поля в окрестности тел, имеющих сложную, объёмную конструкцию - стальной шайбы с определённым соотношением  $D/d$ , где  $D$  и  $d$  – соответственно большой и малый диаметры кольцевой шайбы, и симметричной стеклянной линзы с фокусным расстоянием  $F=150$  мм. В этих измерениях приходилось вручную, с шагом 1 см, перемещать правый зонд вдоль поперечника исследуемой области слева направо. Для масштаба на кривые наложено изображение шайбы, рис. 20. Видно, что в случае шайбы на распределении поля имеется провал, по-видимому, соответствующий отверстию. На распределении поля линзы подобного провала нет.

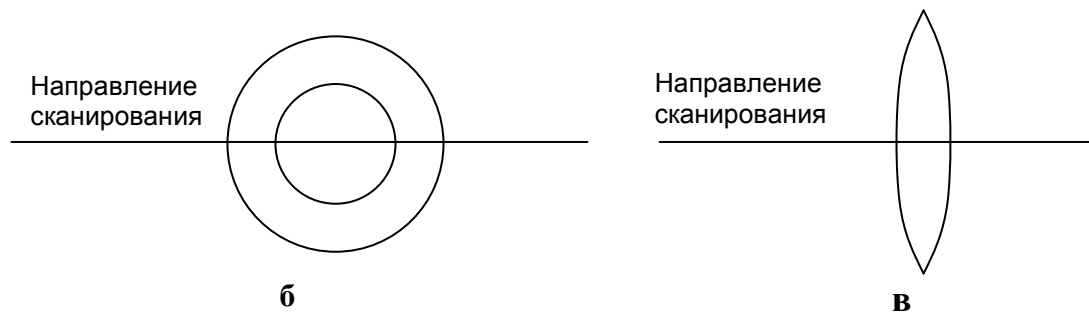
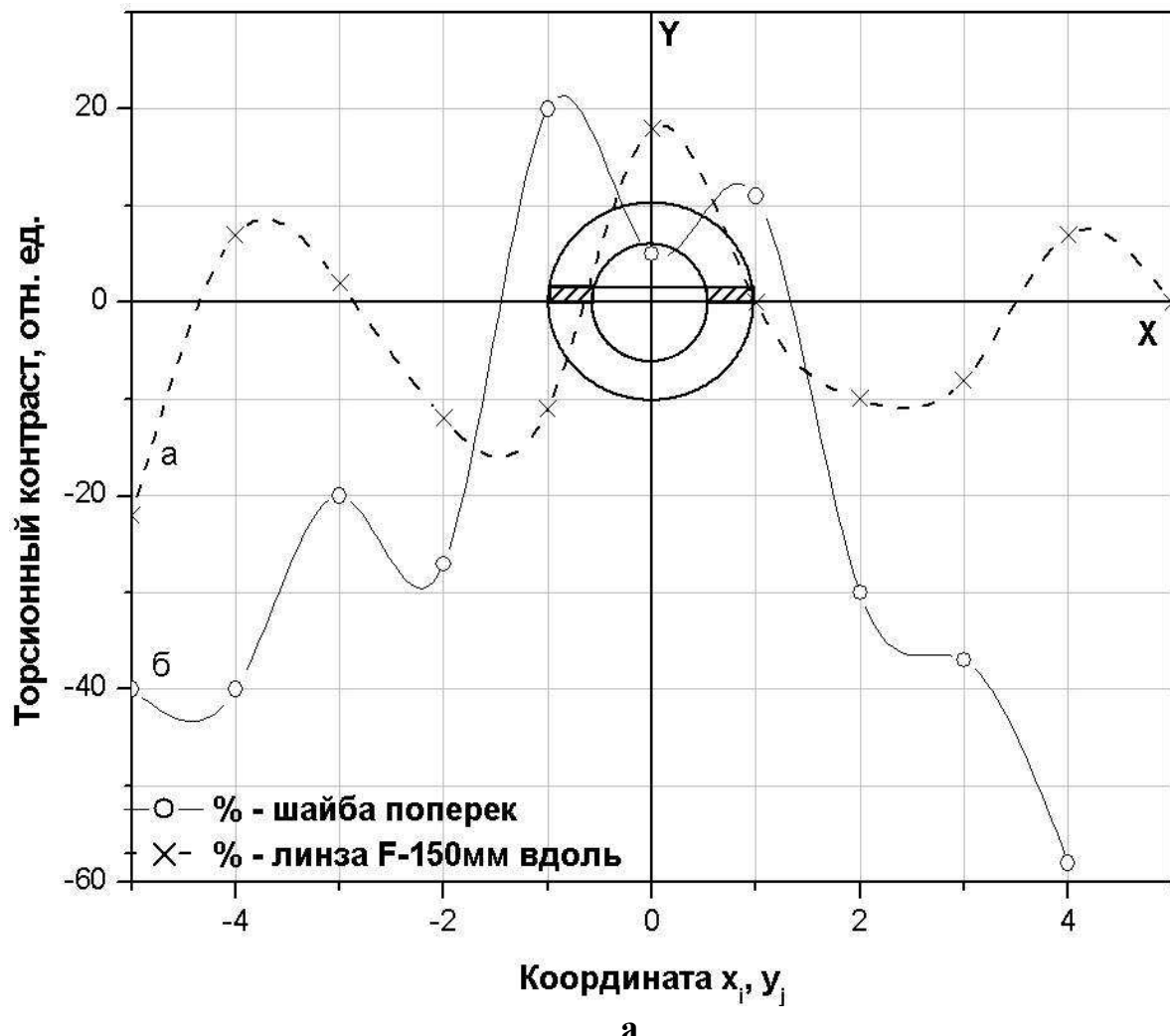


Рис. 20. а) Распределение ТП около стальной шайбы Ø20 мм в поперечном направлении и оптической линзы Ø20 мм в том же направлении. Масштаб:  $Mx=1$  см/дел,  $My=10$  о.е./дел. б) направление сканирования шайбы, в) направление сканирования линзы.

На рис. 21 показаны результаты сканирования другой линзы, на этот раз выпуклово-вогнутой. Но на этот раз работа велась с её изображением (!) как вдоль оптической (и геометрической) оси, так и поперёк её. Хорошо видно, что продольное распределение несимметричного объекта также несимметрично. А в поперечном распределении в этом отношении всё в порядке. В настоящее время работы на SADAФ-08LC законсервированы в ожидании новых поисковых идей. Хорошо было бы, если ручное наведение и сканирование правого зонда усовершенствовать до сканирования автоматического и управляемого компьютером. Для этого нужны управляемые цифровые приводы. Пока их в составе изделия нет. Хронически не хватает умных, грамотных голов и умелых рук.

Более подробную информацию о работах с аурой объектов и их изображений можно найти в материалах: Шкатов В.Т., Агапов Н.А. Распределение тонких полей в окрестности некоторых элементов и устройств техники, БЭИТ-2007, Барнаул-Екатеринбург, ЦОП АлтГТУ, 2007, - с.70-77; Шкатов В.Т., Агапов Н.А. Эффект автодифракции тонких полей, там же – с.83-90.

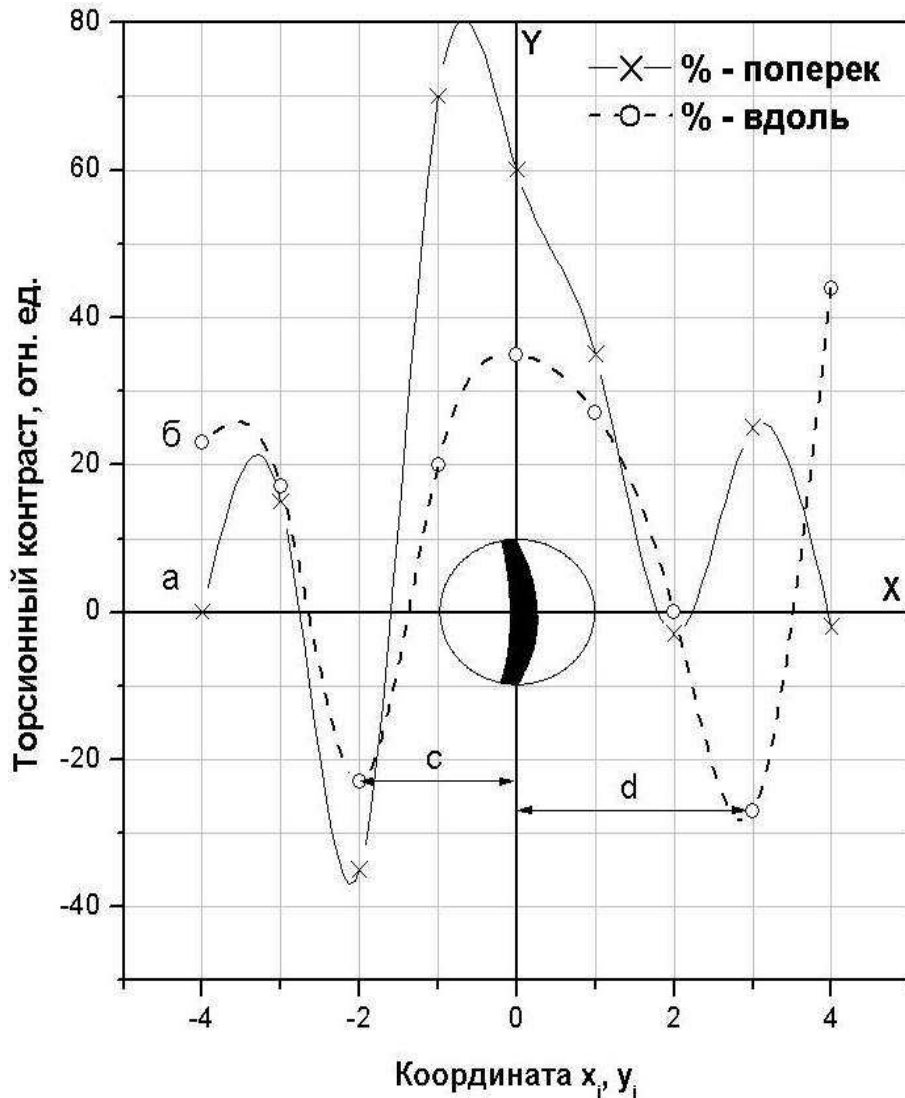


Рис. 21. Распределение тонких полей в направлении поперек и вдоль изображения выпукло-вогнутой стеклянной линзы  $D=18$  мм,  $F\sim 7$  0мм,  $M_x = 1$  см/дел,  $M_y = 10$  о.е./дел.

## **Раздел 7. Детектирование торсионных полей с одновременным воздействием на объект**

Выше уже упоминалось об эффекте утомления измерительной процедуры с торсионными полями. Это ощутимо мешает использованию многократных измерений, позволяющих в нормальной экспериментальной физике уменьшать дисперсию результата до приемлемого уровня. Утомление, предположительно, можно объяснить выравниванием торсионных потенциалов объекта и приёмника в процессе многократного измерения. В электростатике подобные процессы связаны с необратимым перетеканием заряда. В электродинамике знают, как обходить такие проблемы. В ней стараются работать с переменными токами.

У нас соответствующий эквивалент может найтись на путях введения в тракт взаимопередачи объект-приёмник искусственной переменной составляющей, например, в виде шума или меандрового сигнала некоторой частоты. Разумеется, в тракте взаимопередачи будет присутствовать только безэнергетический сигнал с периодическим переходом через информационный ноль. В какой-то мере такой приём можно использовать, усовершенствовав SADAФ или ТСМ-030. Однако в силу ряда личных обстоятельств мне пришлось разрабатывать ещё две отдельные измерительные системы: MODULATOR – 5 и ОРЕОЛ – 001. Устройство их различно, но я, наверное, не буду утомлять читателя их подробным описанием. Скажу только, что общим модулирующим элементом для обеих систем является плоский керамический конденсатор с отверстием для прохода лазерного зонда. Этот конденсатор питается от генератора шума в диапазоне частот 10 Гц÷1 МГц.

Теперь о результатах, полученных при помощи измерителей с воздействием. Они касаются работы с наиболее деликатными, практически недоступными для других средств объектами: лазерным лучом и электромагнитным полем в экранированной коаксиальной системе. Оказалось, что с помощью лазерного зонда можно исследовать другой лазерный луч, точнее не сам луч, а его торсионное окружение.

Использовалась коаксиальная система в виде жёсткой конструкции: труба – стержень (Рис. 22). Труба тонкостенная, наружным диаметром  $D = 16$  мм, внутренним 14 мм, длиной 500 мм, выполнена из нержавеющей стали. Стержень выполнен тоже из нержавеющей стали, диаметром  $d = 8$  мм и длиной 530 мм. На одном конце стержня сделана резьба под гайку M8. Другой конец стержня посредством втулки из нержавейки закорочен электрически с концом трубы – тугая запрессовка. Таким образом, получается короткозамкнутая малоомная коаксиальная линия с достаточно большим относительным удлинением. С разомкнутого конца в линию запускался постоянный ток от стабильного источника.



**Рис. 22. Схема исследуемой коаксиальной линии.**

Ток втекал в линию, либо вытекал из неё в соответствии с общепринятыми в электротехнике правилами: от «+» источника тока на центральный электрод линии – режим втекания тока; от «–» источника тока на центральный электрод линии – режим вытекания тока, рис. 22. Лазерный зонд (контакт) переставлялся поточечно в указанном на рис. 22 направлении, но это делалось на фотографии линии. Сама линия в обесточенном, либо в активном режиме находилась на 5 этажей выше в этом же здании.

На рис. 23 представлено поперечное распределение ауры вокруг коаксиальной системы с постоянным током обоих направлений, а на рис. 24 то же, но без тока.

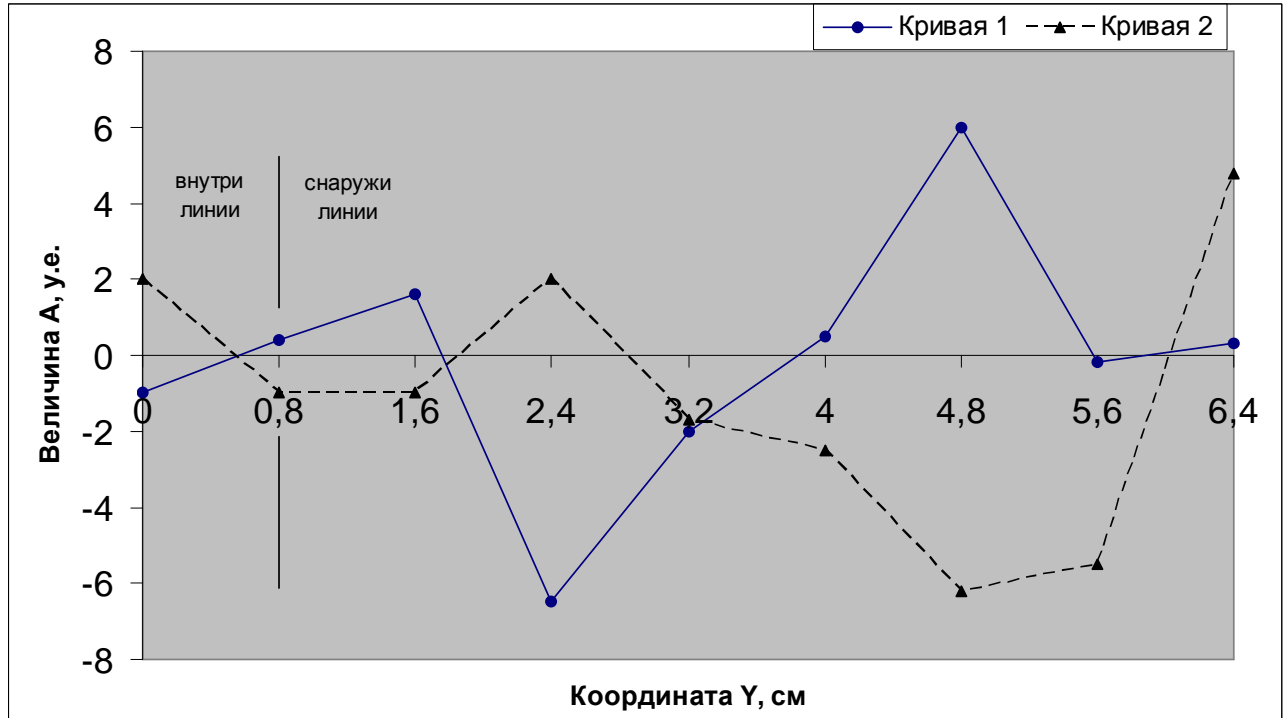
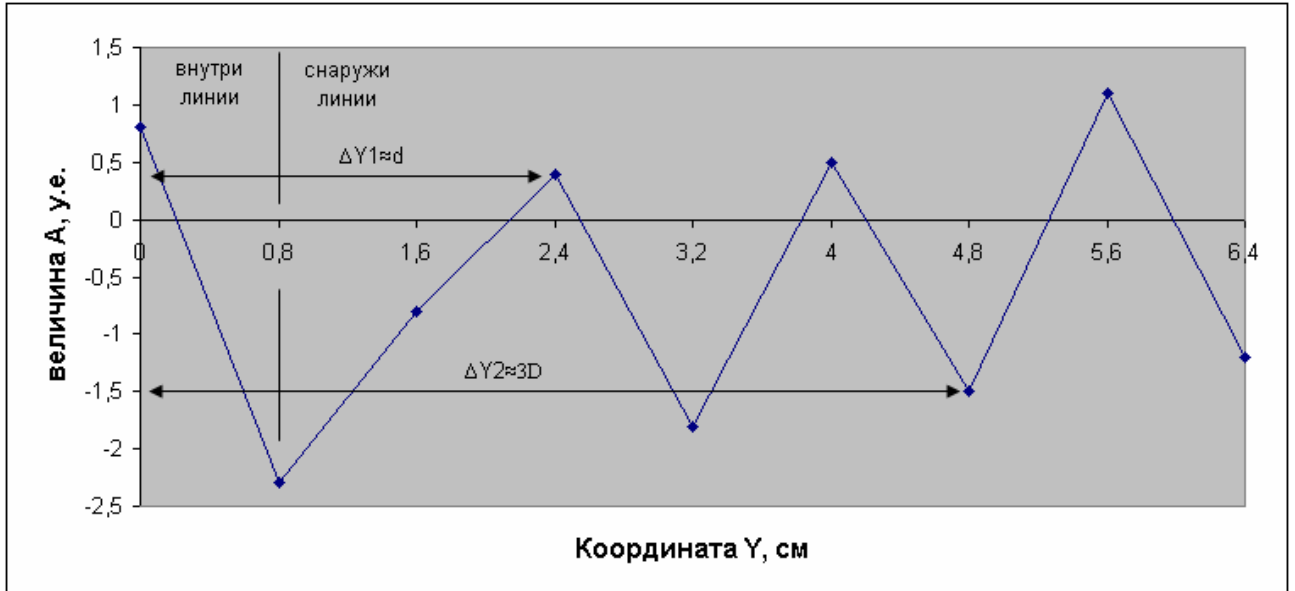


Рис. 23. Сканирование поперечного распределения ТП коаксиальной линии с током, внутри и снаружи ее, по фотографии линии в горизонтальной компоновке. Сама линия при этом располагалась вертикально токоподводами снизу. Ток постоянный. Кривая 1 – ток 2А вытекал из центрального электрода. Кривая 2 – ток 2А втекал в центральный электрод.  $D=2d=1.6$  см.

Видно, что изменение направления тока вызывает коренное изменение характера распределения ТП. В этом распределении имеются периодические колебания «амплитуды», период которых определяется диаметром линии. Но всё дело в фазе колебаний.



**Рис. 24. Сканирование поперечного распределения ТП коаксиальной линии без тока, внутри и снаружи ее, по фотографии линии в горизонтальной компоновке. Сама линия при этом располагалась вертикально токоподводами снизу. D - диаметр внешнего электрода, d – диаметр внутреннего.**

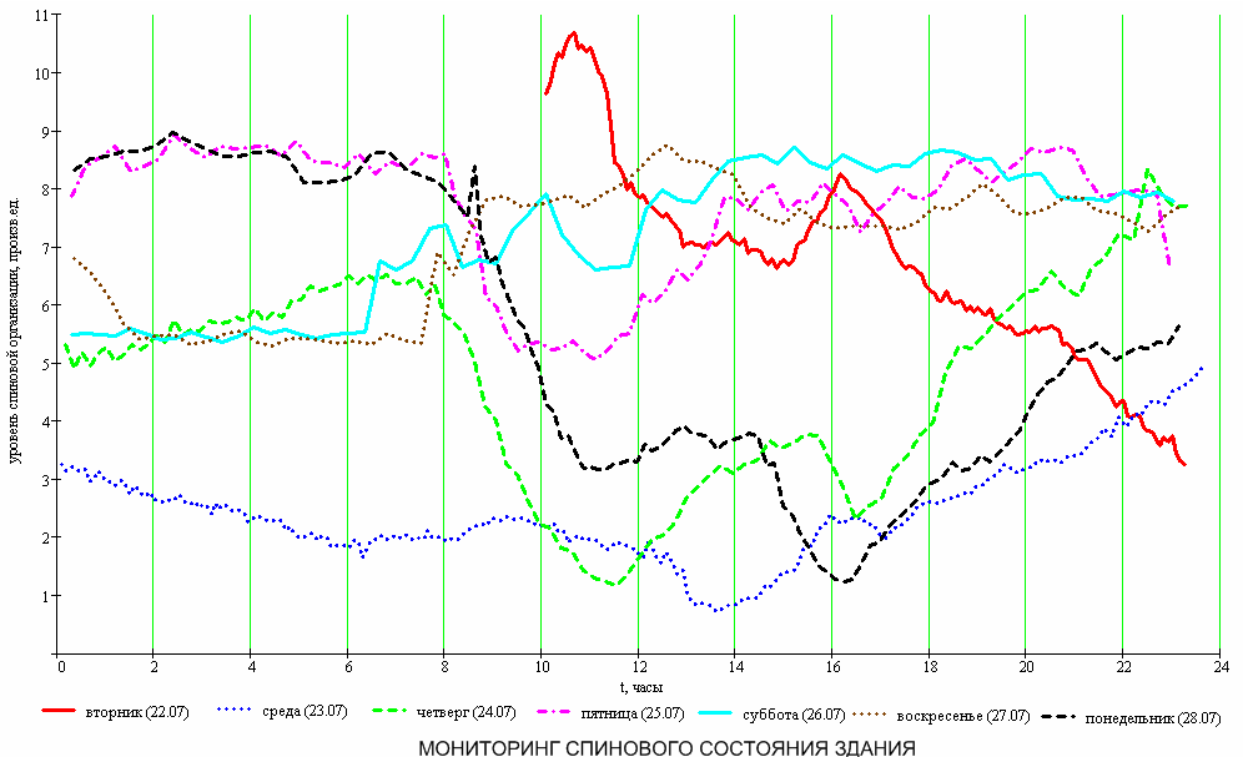
Характер распределения ТП в коаксиальной линии без тока отличается от первых двух, прежде всего, тем, что без тока преобладает сигнал на поверхности линии. При наличии тока любого направления этот сигнал притупляется и значимой становится информация о токе и его величине. Максимум сигнала об этом находится на расстоянии от оси линии, примерно равной 5-6 её радиусов. Нет необходимости напоминать о том, что чисто электромагнитных способов обнаружить ток (магнитное поле) в экранированной коаксиальной системе практически не существует.

В последние год-два мною проводились интенсивные работы по длительному временному мониторингу окружающей обстановки с помощью нового измерителя ОРЕОЛ-001+ и ОРЕОЛ-001++. Общий вид базовой конструкции показан на рис. 25. Этот прибор имеет встроенный датчик на КМОП-микросхеме, высокоэффективные стабилизаторы питания и температуры датчика, систему AD – преобразования для связи с ПК, прикладную программу. На ОРЕОЛ-001+ уже получен целый ряд автоматических мониторинговых результатов: недельные развёртки спиновой обстановки здания лаборатории металловедения СХК (Томская область), мониторинг человеческого организма по его изображению, мониторинг землетрясений с получением информационного предвестника за некоторое время до реального события (от 10 до 30 часов) и т.п.



**Рис. 25. Общий вид диагностического комплекса с воздействием «ОРЕОЛ-001» вместе с источником питания и тарой. Для масштаба использован мобильный телефон.**

На рис. 26 приведены результаты по спиновой реакции лаборатории на приход сотрудников на работу. Видно, что в рабочие дни кривые изменения спинового состояния лаборатории ЛМ СХК, начиная примерно с 9 часов местного времени «проваливаются» вниз, в сторону уменьшения информационной энтропии, что понятно: персонал пришёл дело делать - увеличивать негэнтропию. А к 16 часам персонал начинает расходиться.



**Рис. 26. Результаты недельного торсионного мониторинга здания лаборатории ЛМ СХК, г. Северск, Томской области.**

На рис. 27 представлен один из результатов по мониторингу землетрясения в Италии 06.04.09, физически произошедшего в 05.32 московского времени (08.32 томского). Копия точечного формата невысокого разрешения, к сожалению, плохо передаёт тонкую структуру записи событий. На этом рисунке по оси абсцисс отложено время в точках, причём каждое малое деление шкалы равно 10000 сек (2,777 часа). Основное событие произошло в окрестности, отмеченной красным квадратом, ему предшествовал информационный сигнал, отмеченный красным прямоугольником. Он предваряет основное событие почти на 30 часов. В этом эксперименте структура предвестника не разворачивалась подробно, как это делалось на других записях, например, по землетрясению на Суматре 16.04.09 или на Гаити 21.04.09. Оказывается, эти предвестники имеют чрезвычайно сложную структуру, которая содержит, по-видимому, закодированную информацию о предстоящих неприятностях для людей. Если бы удалось раскодировать такие сообщения-предшественники, то это принесло бы немалую пользу службе предупреждения неприятных событий. В продолжение темы смотри также рис. 28 (предвестник 19.04.09, примерно 18.40 томского времени).

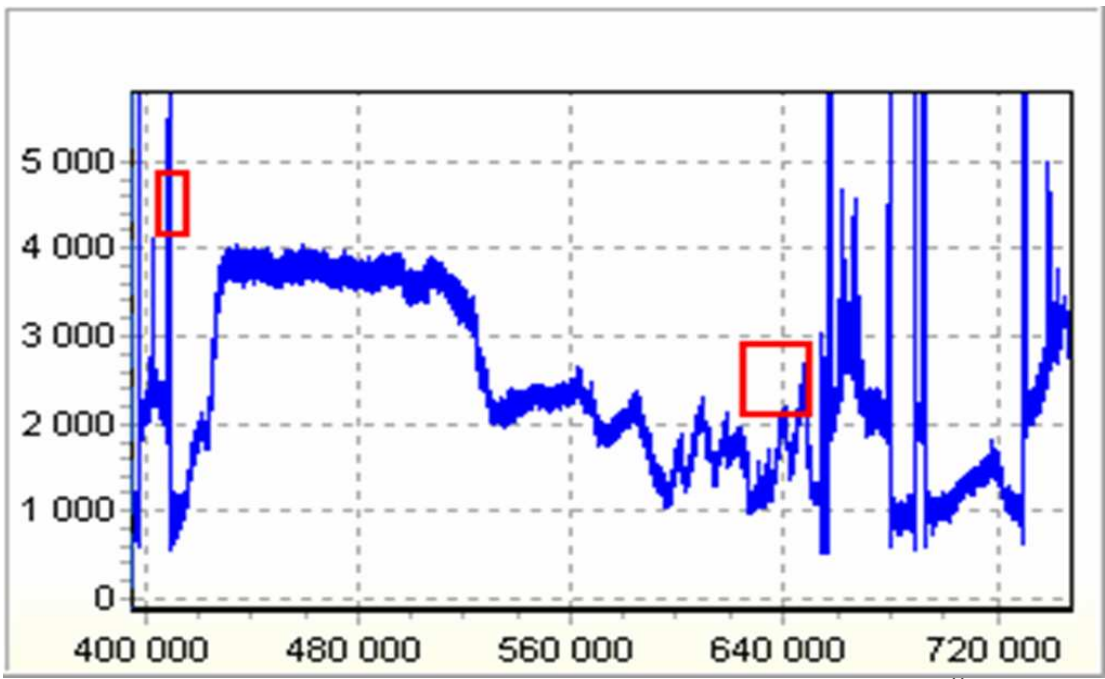


Рис. 27. Запись отклика «ОРЕОЛА», расположенного в ТОМСКОЙ области (Западная Сибирь) на землетрясение в ИТАЛИИ, окрестности условного времени 640000 и его информационного предвестника, окрестности условного времени 395000-410000.

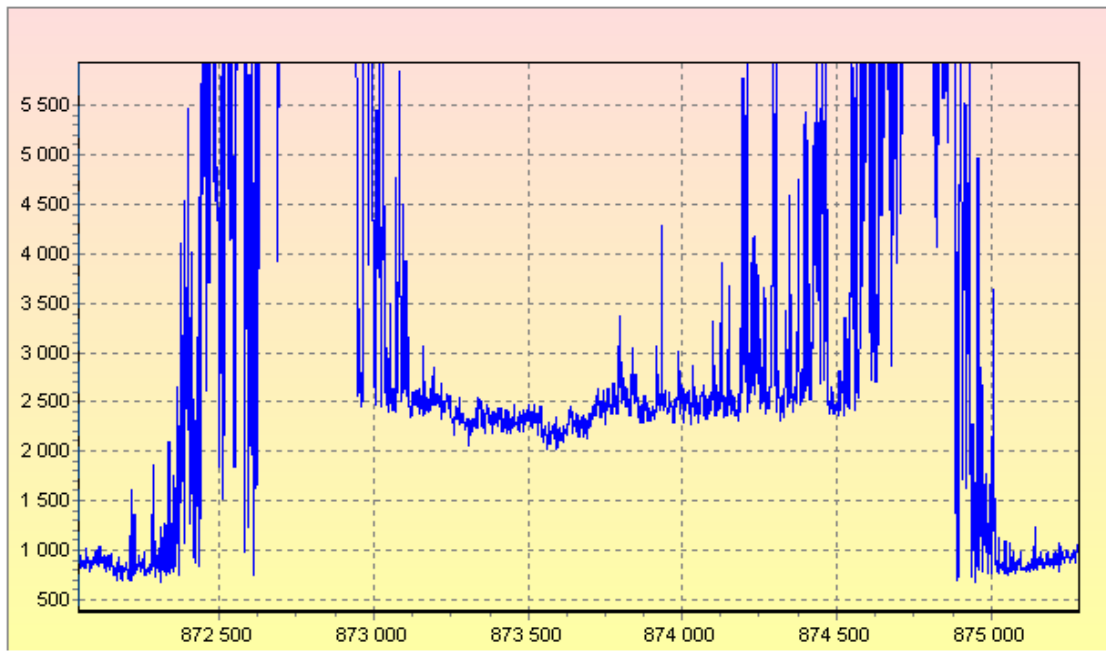


Рис. 28. Торсионный предвестник землетрясения на Суматре.

К сожалению, диагностическая система «ОРЕОЛ» пока (независимо) не даёт координат событий даже крупного масштаба. Необходимо, по-видимому, строить автоматизированный мощный комплекс со сканированием пространства по электронным картам, мощными компьютерами, соответствующими пакетами программ.

## **Раздел8. Обсуждение: сомнения, тревоги, ожидания...**

Вышеописанное, наверное, вызовет у читателя сложное представление об авторе. Тем более что в тексте вскользь упоминаются достаточно серьёзные фирмы, в которых ему довелось работать. Да, приходилось. Да, в серьёзных. И задачи приходилось отрабатывать

вполне приличные. Но всё это было до «лихих» 90-х. Пришли времена другие. Круто менялось сознание, в том числе коллективное. Некоторые научные и технические кумиры несколько померкли, а другие невероятно поднялись. Жизнь в целом существенно поменялась, резко возрос темп всех процессов, уплотнилось само пространство, ограничивающее эти процессы. Естественно полагать при этом, что и мы, люди уже в возрасте, привыкшие считать себя образованными, были частично сметены бурным потоком новой жизни и отчаянно искали какие-то опорные точки. Происходила стремительная рекристаллизация, в которой отнюдь не всем мыслящим людям было суждено найти себя, к тому же себя не потеряв. Это не просто.

Сейчас я не всегда уверен, что вполне целесообразно потратил 12 лет упорного труда на торсионную проблематику. Тем более, что пришлось кое-чем важным пожертвовать. Вполне очевидно, что в моих поисках преобладает техническая, приборная сторона вопроса, а уже потом исследовательская, хотя в последней стороне также удалось неплохо отметиться. С самого начала меня, как физика-экспериментатора, не устраивали биологические способы детектирования торсионных полей и аномалий: всевозможные рамки и маятники, в которых явно просматривалось влияние моторики оператора и его сознания. Да и выходом на число эти методы не могли похвастать, хотя отдельные исследователи пытались пристраивать всякие шкалы, усилители. Недавно, уже после мучительных поисков и реализаций приборного пути, как пути к столь необходимой оцифровке поля, с появлением передачи «Битва экстрасенсов» у меня появились вопросы и раздумья. Главный из них: можно ли на все вопросы получить адекватные ответы только техническими средствами? Тем более в автоматическом режиме. Может ли Космос надёжно и длительно поддерживать столь деликатную связь? Если всё это можно, то, как существенно, на порядки, увеличить быстродействие технических датчиков? Это необходимо для обещанных выше объёмных мониторингов.

Я далеко не всё описал из того, что уже сделано. Недавно мною обнаружены упрямые феномены цифрового взаимодействия технических двойников на большом расстоянии. Если эти феномены удастся перевести в категорию явлений, то может получиться неплохой выход на класс непонятных технических катастроф самолётов в паре, боеприпасов на армейских складах. Таких примеров уже немало. Есть признаки дистанционного приборного переноса воздействия на такие физически жёсткие системы как ядра некоторых радиоизотопов, приводящие к изменению темпа и постоянной распада. То же, и в гораздо большей степени, относится к биологическим системам, человеку с его недугами и дурными пристрастиями. Мною намеренно не делался акцент на подробной и личной интерпретации практических результатов.

Одновременно с некоторыми собственными успехами на приборном пути детектирования торсионных полей, всё чаще мелькает мысль о том, что мы всё же отчаянно мало знаем об устройстве мира, а то, что знаем, далеко не однозначно и может быть только правдоподобным описанием, за которое, возможно, ещё придётся платить по немалому счёту.

28 декабря прошлого года меня сократили. Что делать, 70 лет уже, да и кризис нагрянул на страну и отрасль. Можно понять. Частично лишился лаборатории, а главное не слишком зашумлённого места в соседнем городе. Часть личного оборудования перевёз в тёплый сдвоенный гараж в Томске, оборудованный основными станками: токарный, сверлильный, точильный станок. Есть верстак, тиски, стойка с необходимой радиоаппаратурой, несколько столов для производства монтажно-сборочных работ. В центре установим большой стол для приглашений, на стене повесим доску для семинаров по тематике. Собираемся ещё подетектировать странные и «запрещённые» поля!

Томск – 08.01.10